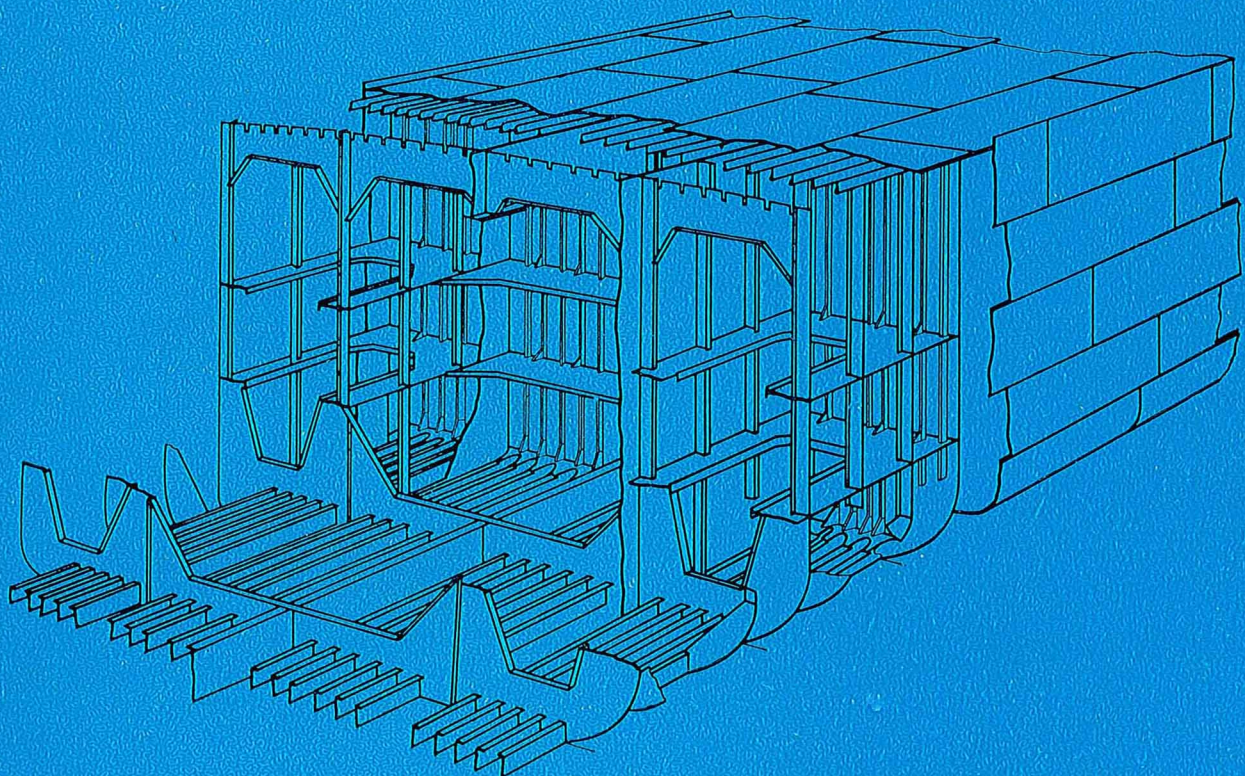




# GEMİ MÜHENDİSLİĞİ

tmmob gemi mühendisleri odası yayın organı

Sayı 86 Ekim 1982

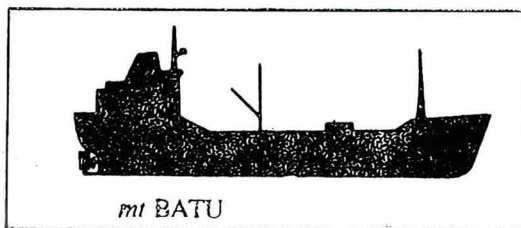


- YAKIT TASARRUFU İÇİN GEREKLİ HİZ DEĞİŞİKLİĞİ VE OPTİMAL HİZ
- GEMİ TASARIMINA UYGULANAN OPTİMİZASYON YÖNTEMLERİ
- TİCARİ GEMİ FORMLARININ ISLAK YÜZEYİ
- GEMİLERİN DİZAYN STABİLİTESİ İÇİN C<sub>RS</sub> DİGRAMLARI
- ODADAN HABERLER

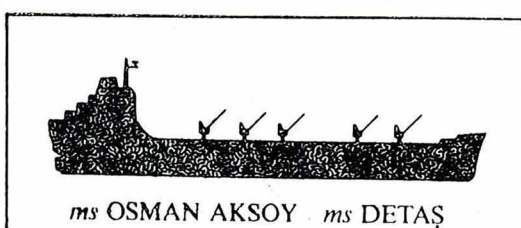
## DENİZ TAŞIMACILIĞINDA ATILIM

# AKSOY ŞİRKETLER GRUBU

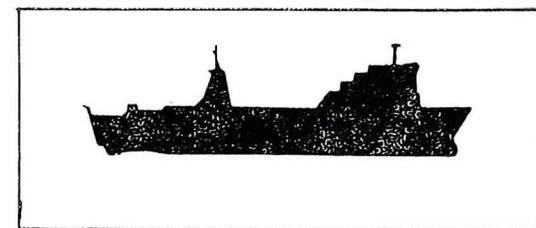
SÜLFİRİK ASİT KİMYEVİ MADDE GEMİLERİ



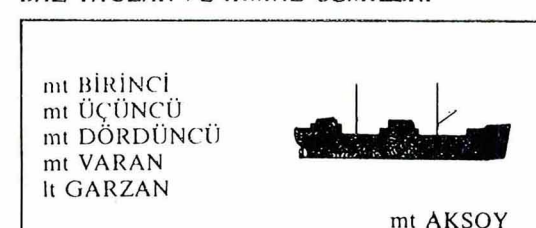
DÖKME VE KURUYÜK GEMİLERİ



YURTİÇİ, YURTDIŞI VE TRANSİT  
Ro/Ro - KONTEYNER TAŞIMACILIĞI



AKARYAKIT, MADENİ YAĞLAR, KATIK,  
BAZ YAĞLAR VE İKMAL GEMİLERİ



“ 9 ADET GEMİ İLE HER TÜRLÜ TAŞIMA  
ihtiyaçlarınızına çağdaş çözüm ,”



AKSOY DENİZCİLİK  
VE TİCARET A.Ş.

**Detas**  
DENİZCİLİK VE TİCARET A.Ş.



TRANSBALKAN DENİZYOLLARI  
DENİZ TAŞIMACILIĞI A.Ş.

ADRES: BÜYÜKDERE CAD. NO: 119 - NEVTRON İŞ HANI - KAT 1 - GAYRETTEPE - İSTANBUL  
TEL.: TİCARET: 67 72 66 - 67 İDARI: 66 85 33 - 34 MUHASEBE: 66 86 04 İŞLETME: 66 87 44  
TLX.: 26435 eaks 24661 tbsi 24470 roro 24472 tbdy

**GST**

Hidrolik Giyotin Makas

**Z41**

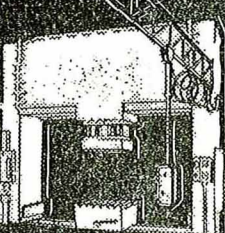
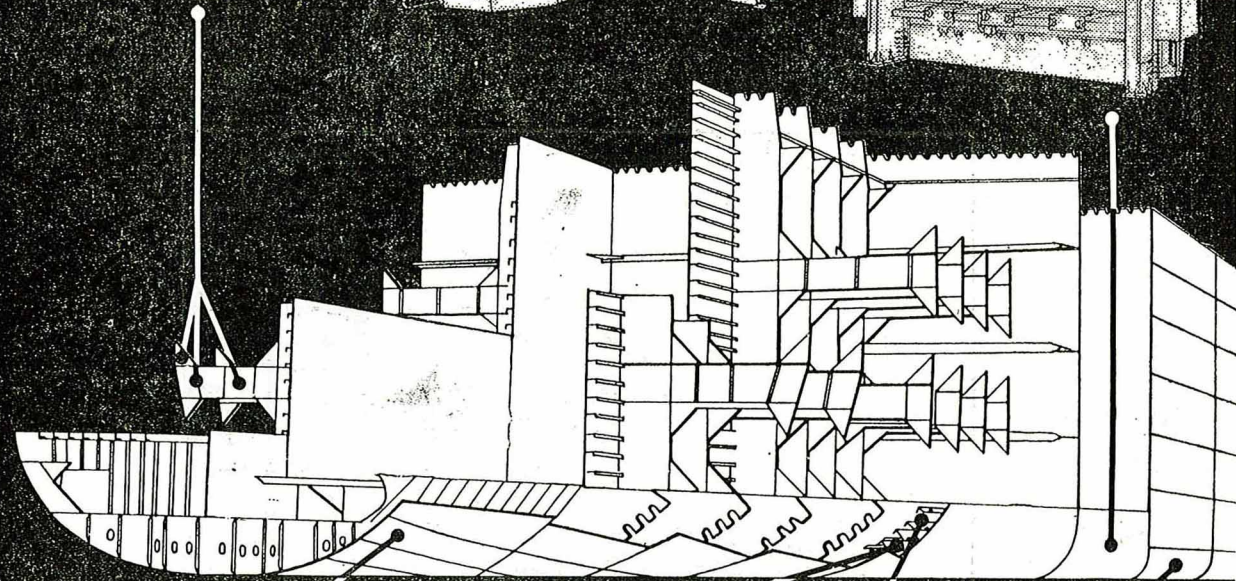
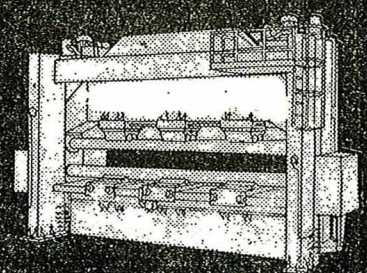
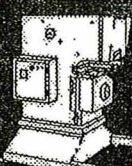
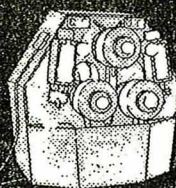
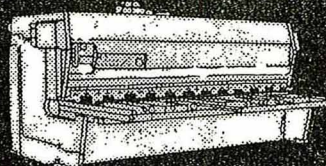
Hidrolik Profil Kırma

**X93**

Kaynak Ağzı Açma

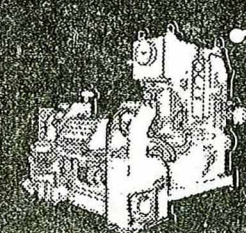
**KPDV**

Hidrolik Kırma ve Bükme



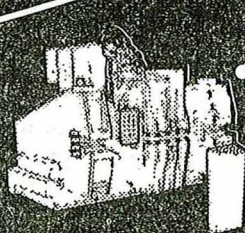
**VPF**

Hidrolik Portál ve  
Universal Pres



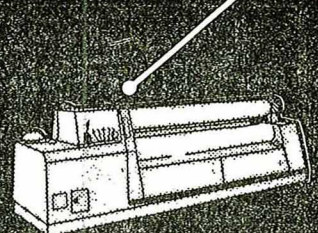
**EPN**

Hidrolik Kenarda  
ve Ortada Zımbalama



**SBRP**

Hidrolik Profil Eğme



**PV7H**

Hidrolik Saç Kırma

## GEMİ İNŞAATINDA ve Diğer Kaliteli Saç ve Profil İşlemleri İçin

**SMT-PULLMAX TAKIM TEZGÂHLARI**  
**İsveç**

**Saç İşleme İçin Komple Tezgâh Ailesi**

MÜMESSİLİ

**TEKNİKEL**

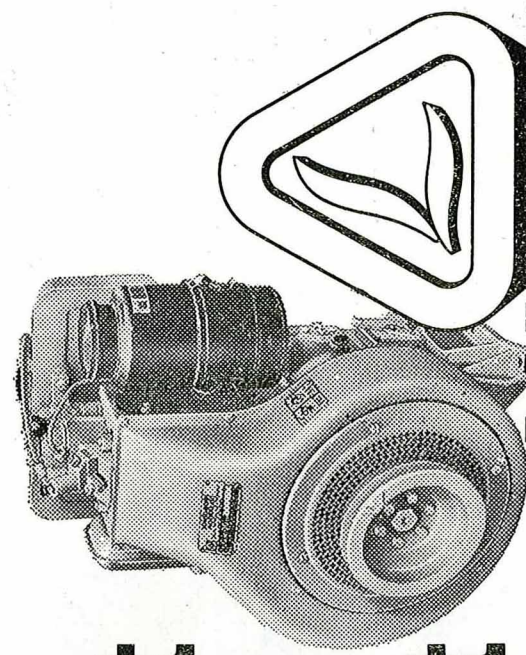
TİCARET ve SANAYİ A. Ş.

KARAKÖY, NECATİBEY CAD. 90/A

TEL : 49 73 10

Telgraf : TEKNİKEL - İSTANBUL

**tarında  
berelket  
sanayide  
KUWET  
denizde  
hareket**



**LOMBARDINI  
MOTORLARI**

Türkiye Genel Distribütörü :  
**AN-PA ANADOLU PAZARLAMA ve DAĞITIM TİCARET A.Ş.**

Mecidi Mebusan Cad. 319 Oyak İş Hanı Salıpazarı - IST.  
Tel: 49 09 70 - 43 57 74 - 45 28 34

Ankara :  
Hosdere Cad. 98/4 Y. Ayrancı  
Tel: 26 44 22

Izmir :  
Akdeniz Cad. 5/B  
Tel: 14 21 73

# GEMİ MÜHENDİSLİĞİ

SAYI 86

EKİM 1982

## GEMİ MÜHENDİSLİĞİ

T.M.M.O.B.

Gemi Mühendisleri Odası

Adına Sahibi :

Ali Dursun KANÇEKER

—0—

Yazılı İşleri Müdürü :

Naci ÇANKAYA

—0—

Yönetim Yeri :

T.M.M.O.B. Gemi Mühendisleri Odası  
Meclisi Mebusan Caddesi  
No. 115 - 117 FINDIKLİ/İST.  
Telefon : 43 63 50

—0—

Dizgi - Baskı :  
Matbaa Teknisyenleri Basımevi

Telefon : 22 50 61

—0—

Kapak Grafiği :

Ateş AYDEMİR

—0—

## REKLAM ÜCRETLERİ :

Ön iç kapak	:	17.500
Ön iç kapak karşısı	:	15.000
İçindekiler sahifesi karşısı	:	15.000
Arka kapak	:	17.500
Arka kapak içi	:	15.000
Arka kapak içi karşısı	:	15.000
Tam sayfa (normal)	:	10.000

Ücretler siyah - beyaz reklam içindir,  
renk farkı ayrıca alınır.

Klişe ücretleri reklam sahiplerince  
ödenir.

Fiyatı : 150 TL.

Yıllık Abone : 600 TL.

—0—

KURULUS : NİSAN 1955

## İÇİNDEKİLER

Eşref Bodur :	Yakıt Tasarrufu İçin Gerekli Hız Değişikliği ve Optimal Hız .....	1
K. Kaya Yanmaz :	Gemi Tasarımına Uygulanan Optimizasyon Yöntemleri .....	6
Levent Papaker :	Ticari Gemi Formlarının Islak Yüzeyi .....	19
Mehmet Çağlarcı :	Gemilerin Dizayn Stabilitesi İçin $C_{RS}$ Diyagramları .....	24

## ÖZÜR

Geçen, 85. sayımızda, kapaktaki sayı numarası yanlışlıkla 84 olarak çıkmıştır. Düzeltir, üye ve okuyucularımızdan özür dileriz.

## TMMOB GEMİ MÜHENDİSLERİ ODASI YAYIN ESASLARI

GEMİ MÜHENDİSLİĞİ dergisi, Gemi İnşaatı ve Gemi Makinaları mühendislerinin meslekle ilgili bilgilerini geliştirmeyi, Ulusal Gemi İnşaatı Teknolojisine katkıda bulunmayı, Gemi Mühendislerinin özgün meslek faaliyetlerini ilgililere ulaştırmayı ve üyelerinin sosyal yaşamalarını zenginleştirmeyi amaçlayan, TMMOB Gemi Mühendisleri Odasının 3 ayda bir çıkan yayın organıdır.

---

### G.M.O. YAYIN KURULU

Behçet Tuğlan	(Baş Editör)
Ömer Gören	(Koordinatör)
Ohannes Özçelik	(Üye)
Taner Günay	(Finansman Sorumlusu)
Ercan Türkoğlu	(Basım İşleri Sorumlusu)

---

Yazlarının GEMİ MÜHENDİSLİĞİ dergisinde yayınlanmasını istiyen yazarlar, yazılarını - orijinal çizim ve resimleri de içeren - 2 kopya halinde Baş Editör adına Gemi Mühendisleri Odasına yollamalıdır. Orijinal çizim ve resimler, yazı dergide çıkmadan evvel yazarına geri verilemez.

Yazilar açık ve anlaşılır bir dille ve daktilo ile 2 satır aralığı bırakılarak yazılmış olmalıdır. Çizimler aydinger kağıdına siyah çini mürekkep ile çizilmeli ve aydinger üzerine kurşun kalem ile hangi şekil olduğu ve alt yazısı belirtilmelidir. Eğer varsa, fotoğraflar parlak kağıda çektirmiş olmalı ve açıklayıcı bilgi kurşun kalem ile resmin arkasında verilmelidir. Referans listesi, yazının sonunda alfabetik sıraya göre düzenlenmelidir.

Yayın kurulu Editörlüğü tarafından, yayınlanması uygun görülen yazılar için telif hakkı olarak — üniversiteler yayın yönetmeliği esaslarına göre saptanan — "standard sayfa" başına 200 TL. ödenir. Tercüme yazılar için bu ödeme 100 TL. dir. Yazarlar, yazılarının daktilo ve çizimlerini Oda aracılığı ile yaptırmak istediklerinde, daktilo ve çizim için harcanan tutar telif hakkından düşülür.

# Yakıt Tasarrufu İçin Gerekli Hız Değişikliği ve Optimal Hız

Eşref BODUR (\*)

## ÖZET :

Bu çalışmada özellikle artan yakıt maliyetlerinin, gemilerin ekonomik hızı üzerindeki etkisi incelenmiştir. Öncelikle yakıt tüketimi, seyir hızı, sefer süresi (denizde + limanda), seyir mesafesi ve taşınan yük arasındaki matematik bağıntılar oluşturulmuş, buradan da «bir ton yükün ortalama günlük taşıma maliyeti» ni minimum kılan optimal hızın hesaplanması verilmiştir. Geminin form ve diğer özelliklerinde herhangi bir değişiklik yapmadan sağlanabilecek maksimum yakıt tasarrufunun servis hızında uygun bir azaltma ile olanaklı olduğu gösterilmiştir.

## TEMEL BAĞINTILAR ve SORUNUN FORMÜLASYONU

Aşağıda bir geminin iki liman arasında çalışma durumu ele alınmıştır. Kuşkusuz verilen model birden fazla limana uğrama durumu için benzer yol izlenerek genelleştirilebilir.

a — Bir günde taşınan ortalama yük miktarı :

İki liman arası uzaklık (gidiş + dönüş)  $L$  (mil), gün başına seyir hızı  $V$  (mil/gün), limanda geçen süre (bekleme dahil  $t_p$  (gün) olarak alınmış olsun. Seyir süresi.

$$t_s(V) = \frac{L}{V} \quad (1)$$

dir. Böylece toplam sefer süresi,

$$T(V) = t_p + t_s(V)$$

$$T(V) = t_p + \frac{L}{V} \quad (2)$$

olur. Diğer taraftan,  $Q$  bir geminin deadweight yük taşıma kapasitesi olmak

üzere, o geminin bir günde taşıdığı ortalama yük miktarı;

$$q(V) = \frac{Q}{T(V)} = \frac{Q}{t_p + \frac{L}{V}} \quad (3)$$

olur. Bilindiği gibi yükün tipine ve özelliğine göre tam yüklü halde bile geminin  $Q$  gerçek yükleme kapasitesine erişilemeyebilir. Bu halde taşınableen yükün  $Q$ 'ya oranına  $\alpha_1$  denilir. Ayrıca bulunabilen veya taşınan gerçek yükün  $\alpha_1 Q$ 'ya oranına utilizasyon oranı denilmektedir. Kısaca,

$$\alpha_1 = \frac{\text{Maksimum yüklenebilecek yük miktarı}}{Q}$$

$$\alpha_2 = \frac{\text{Geçerleşen yük miktarı}}{\alpha_1 Q}$$

biçiminde tanımlanır.  $\alpha = \alpha_1 \cdot \alpha_2$  alınırsa, taşınması gerçekleştirilen yük miktarı  $\alpha Q$  kadar olacaktır.

Bu durumda (3) eşitliği

$$\alpha \cdot q(V) = \frac{\alpha Q}{t_p + \frac{L}{V}} \quad (3')$$

olur.

b — Ana makinanın ortalama günlük yakıt tüketimi

Geminin Servis hızı  $V_0$  (mil/gün), buna karşı gelen günlük yakıt tüketimi  $C_0$  (ton/gün) olsun (\*\*). Deneysel ve teorik çalışmalar, geminin  $V \neq V_0$  hızı ile

(\*) Araştırma Görevlisi, Y. Müh., İ.T.Ü. Gemi İnşaatı ve Deniz Bil. Fak., Taşkısla.

(\*\*)  $C_0$  değeri geminin tipine (ana makina, gemi tekne formu,...) bağlıdır.

seyretmesi halinde, günlük yakıt tüketiminin,

$$C(V) = C_0 \left( \frac{V}{V_0} \right)^K \quad (4)$$

Şeklinde değiştiğini göstermiştir. Burada  $K$  sabiti geminin tipine göre değişebilir. Verilen bir deniz ve hava koşulunda, bir gemi için  $K$ 'nın değeri hemen hemen sabit kalmakta ve  $K = 3$  yeterli bir yaklaşım vermektedir.  $C(V)$  tanımlamasını kullanarak, ana makinanın sefer günü başına ortalama yakıt tüketimi;

$$F(V) = \frac{C(V) \cdot t_s(V)}{T(V)} \quad (5)$$

$$F(V) = C_0 \left( \frac{V}{V_0} \right)^K \frac{\frac{L}{V}}{t_p + \frac{L}{V}}$$

olarak elde edilir.

$c$  — Sefer Süresince Gerekli Masraflar

Yük taşımacılığında, navlun bedeli elde edilen gelirlere karşılık, zorunlu harcamalar olmaktadır. Bu harcamaları genel olarak iki başlık altında toplayabiliriz.

(i) Sefer süresine doğrudan bağlı olmayan, her sefer için yapılacak sabit masraflar. Bu masraflar, yükleme boşaltma, kılavuzluk, liman ödentileri gibi masrafları kapsamakta olup, aşağıda  $B$  ile gösterilecektir.

(ii) Sefer süresine bağlı harcamaların en önemlisi ana makina tarafından tüketilen yakıtın maliyetidir. Seyir halinde devreye giren yardımcı makinaların yakıt maliyetleri bu harcamalar arasındadır. Aşağıda bir ton ana makina yakıt fiyatı  $A_1$ , bir ton yardımcı makina yakıt fiyatı  $A_2$  olarak alınmış, yardımcı makinaların günlük ortalama yakıt tüketimi ise  $d$  ile gösterilmiştir.

Bu arada, bazlarına göre reel harcama sayılmayan ve yatırım değeri üze-

rinden değişik biçimlerde hesaplanan amortisman payının, ayrıca vergi, faiz ve sigorta giderlerinin sabit harcamalardan sayılması gerekecektir. Diğer tarafından gemiler birim DWT tonajı üzerinden kiralananarak işletiliyorsa, bu halde kiralama ücreti harcamalara eklenecektir. Bir gemi ister kiralama yoluyla ve isterse gemi sahibi tarafından işletilsin, bu paragrafta söz edilen sabit harcamalar aşağıda  $A_3$  ile gösterilmiştir.

O halde, günlük toplam ortalama harcamaları şu şekilde tanımlayabiliriz;

$$E(V) = \frac{B}{T(V)} + A_1 \cdot F(V) + A_2 \cdot d + A_3 \quad (6)$$

Böylece, (6) eşitliğini (3') eşitliğine bölgerek bir ton yükün ortalama taşıma maliyeti

$$R(V) = \frac{E(V)}{\alpha q(V)}$$

$$R(V) = \frac{B}{\alpha Q} + \frac{T(V)}{\alpha Q} \cdot (A_1 F(V) + A_2 \cdot d + A_3) \quad (7)$$

elde edilir.  $T(V)$  ve  $F(V)$  yerine (2) ve (5) eşitliğindeki değerleri konulursa,

$$R(V) = \frac{B}{\alpha Q} + \frac{1}{\alpha Q} \left[ A_1 C_0 L \frac{V^{K-1}}{V_0^K} + \left( t_p + \frac{L}{V} \right) \cdot (A_2 d + A_3) \right] \quad (8)$$

bulunur. Bir ton yükün taşıma maliyetini minumum yapan optimal  $V^*$  hızı ise, (8) eşitliğini minumum kılan hız olup,  $R(V)$  nin  $V$ 'ye göre türevi ile,

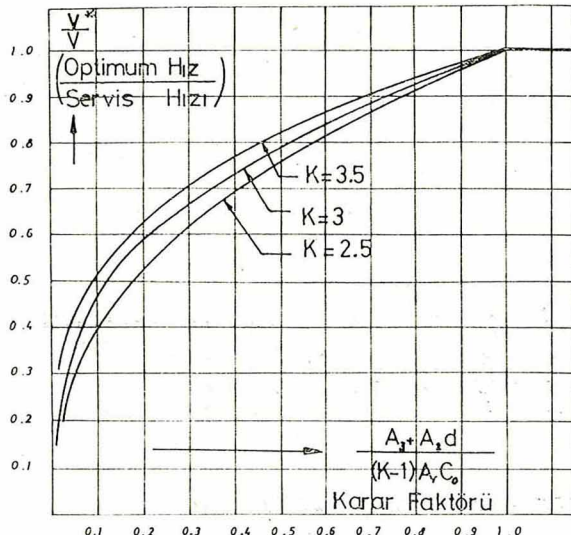
$$V^* = V_0 \cdot \left( \frac{A_3 + A_2 d}{(K-1) A_1 C_0} \right)^{1/K} \quad (9)$$

olarak bulunur. Bu bağıntıdan şu sonucu çıkarabiliriz :

$$(K-1) A_1 C_0 \leq (A_3 + A_2 d)$$

(\*) Burada gemi ister balast, isterse yüklü halde olsun (5) no.lu eşitlikteki ana makinanın sefer günü başına yakıt tüketimi eşit alınmıştır. Bu kabul tanker ve cevher gemileri için geçersizdir.

eşitsizliğini geçerli kıلان değerler söz konusu olduğunda, geminin ekonomik hızı  $V^* \leq V_0$  olarak alınması gereklidir. Değişim biçimini Şekil - 1 verilmiştir. Şekilde karar faktörü olarak adlandırılan oran



Sekil 1.

artan yakıt fiyatları nedeni ile düşük değerler almaktadır. Örneğin bir gemide karar faktörü 0,8 iken artan yakıt fiyatları ile bu oran 0,7 olarak elde edilmiş ise, servis hızında % 4 kadar azaltma yapılması gerekecektir. Bu ise % 12 civarında bir yakıt tasarrufu sağlayacaktır [3].

Şimdi de, gemiyi çalıştırılan kuruluş veya şahsın,  $A_3$  değeri ile gösterdiğimiz kira bedelini ödemesinin yanı sıra taşınan yükün de sahibi olma durumunu ele alacağız. Bu durumda yükleme yapılan limanda yükle bağlanan paranın sefer süresi peryodunda maliyeti söz konusu olacaktır (örneğin, yıllık faiz oranı % 10 ise,  $i = 0,10/365$  alınır, bir ton yükle bağlanan para  $\beta$  olursa, sefer süresi için taşınan gerçek yük miktarına bağlanan paranın maliyeti

$$\frac{1}{2} \cdot i \beta \alpha Q \cdot T(V)$$

olacaktır.) O halde, (7) bağıntısı

$$R(V) = \frac{B}{\alpha Q} + \frac{1}{\alpha Q} \left[ A_1 C_0 L \frac{V^{K-1}}{V_0^K} + \left( t_p + \frac{L}{V} \right) (A_2 d + A_3) \right] + \frac{1}{2} \alpha \beta \left( t_p + \frac{L}{V} \right)$$

Şeklinde ifade edilecek, benzer işlemlerle ekonomik hızı,

$$V^* = V_0 \left( \frac{A_3 + A_2 d + \frac{1}{2} i \beta \alpha Q}{(K-1) A_1 C_0} \right)^{1/K}$$

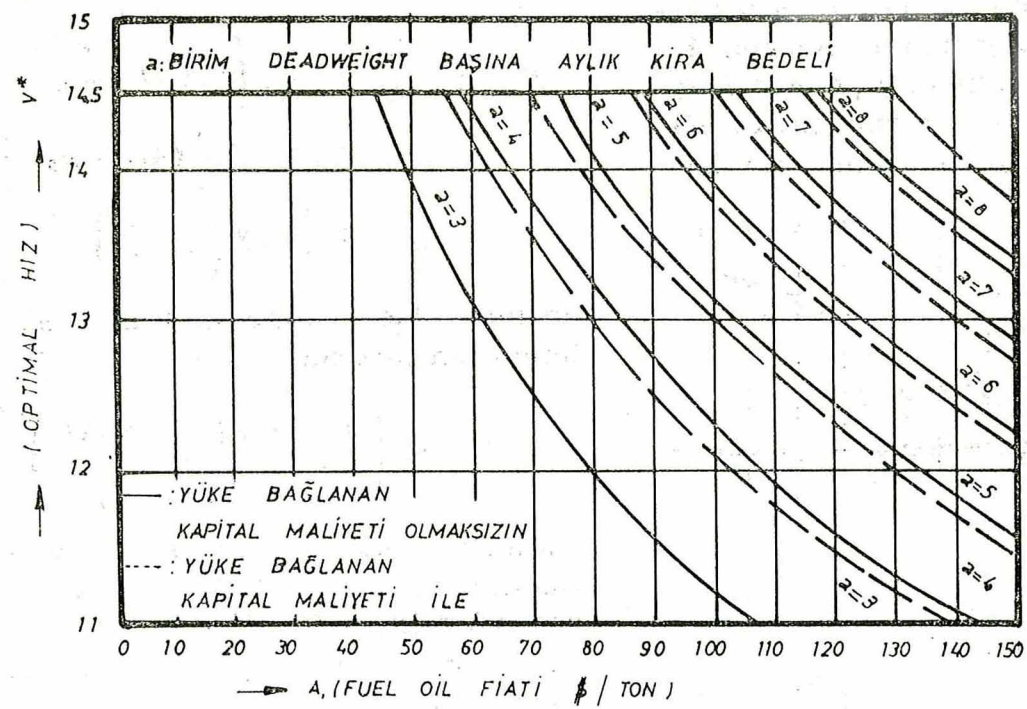
olarak bulunacaktır. Burada da  $V^* > V_0$  eşitsizliğini sağlayan  $V^*$  hızları için, ekonomik hızın  $V^* = V_0$  servis hızı olarak alınması gerekeceğini yinelemek gereklidir (Şekil 1).

### Örnek :

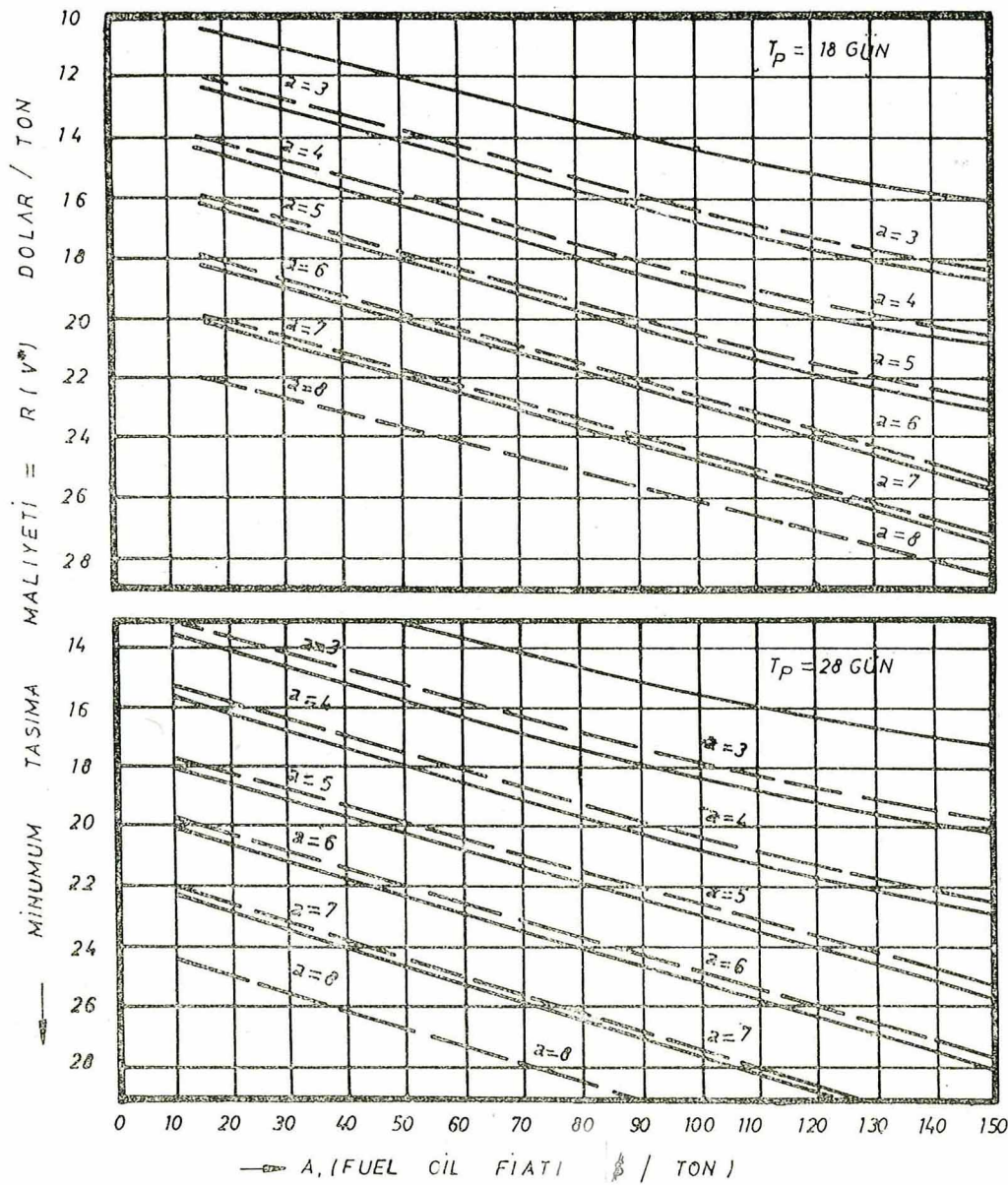
Aşağıda bir cevher gemisine ait özellikler verilerek, yakıt fiyatlarındaki ve gemi kira bedelindeki değişimlere bağlı olarak ekonomik hızın nasıl seçileceği gösterilmiştir. (Şekil - 2a)

### Veriler :

- Deadweight :  $Q = 31,900$  ton
- Servis hızı - 14,5 knot :  $V_0 = 348$  mil/gün
- Ana makina yakıt sarfiyatı :  $C_0 = 38$  ton/gün,  $K = 3$  (Servis Hızında)
- Ana makina yakıt türü : Fuel Oil, grade 1000
- Yardımcı Makina yakıt sarfiyatı :  $d = 2$  ton/gün
- Yardımcı Makina yakıt türü : Diesel Oil
- Taşınan gerçek yük miktarı : 30,300 ton,  $\alpha = 0,95$   
(Gidiş + dönüş) sefer mesafesi,  $L = 13.600$  mil
- Sefer başına Liman Süresi;  $t_p = 18 - 28$  gün
- Kiralama bedeli, ton başına aylık



ŞEKİL - 2a



ŞEKİL - 2b

$a = 6$  Dolar üzerinden  $A_3 = 6 \times 30,330 : 30 = 6290$  Dolar/gün olur.

Bu örnekte ayrıca a'nın 3, 4, 5, 7 ve 8 değerleri içinde değerlendirme yapılmıştır.

• Sefer başına sabit masraflar

(1) Yükleme masraf. : 13.630 Dolar

(2) Kılavz. liman mas.: 13.630 »

(3) Boşaltma mas. ....: 81.420 »

$$B = 102.050$$

• Yükleme yapılan limanda yükün maliyeti :  $\beta = 180 \$/\text{ton}$

• Kapitalin günlük maliyeti (yükün sigorta maliyetleri dahil) :

$$i = \frac{0,12}{365} = 0,00329 \$/\text{gün.}$$

Bu veriler ve vermiş olduğumuz bağıntılar kullanılarak, bir ton yükün taşıma maliyetini minimum yapan optimal hızın değişimi yakıt fiyatlarının ve kiralama bedelinin bağlı olarak Şekil - 2a da gösterilmiştir. Limanda kalış süresinin sonuçlara etkisi ise Şekil - 2b de görülmektedir.

## SONUÇLAR :

1 — Yakıt tasarrufu, bir geminin diğer özellikleri bozulmadan servis hızında uygun bir azaltma yapılarak sağlanabilir.

2 — Servis hızında % 10 luk bir

azaltma ile, yakıt maliyeti veya miktarında % 30 civarında tasarrufu sağlanabilir. Bu ise böyle bir uygulamanın önemini açıkça göstermektedir.

3 — Ekonomik koşullar, işletme maliyetleri ve özellikle artma biçimindeki yakıt maliyetleri zaman boyutunda sürekli değişim gösterdiğinden, bir geminin ekonomik hızı da bunların bağlı olarak sürekli değişik değerler almaktadır.

## KAYNAKLAR :

1. AVI-ITZAK, B. «Speed, Fuel Consumption and Output of Ships», Israel Shipping Research Institute, 1974.
2. RYDER, S. C. and D. CHAPPEL, «Optimal Ship Size and Ship Speed for the Liner Trades», The University of Liverpool, 1979.
3. JAMIN, P. «The Optimum Speed of a Ship». Bulletin Technique du Bureau Veritas - Ekim 1978.
4. WATSON, D. G. M., «Designing Ships For Fuel Economy», Naval Architects, Ekim, 1981.
5. ROBERT M. SCHER and HARRY BENFORD, «Some Aspects of Fuel Economy in Bulk Carrier Design and Operation», Shipboard Energy Conservation 80. (Symposium) S.N.A.M.E., Eylül, 1980.
6. SAYLAN, Ö. «Mühendislik Ekonomisinin Gemi ve Tersane Yatırımlarına Uygulanması», TMMOB, Makina Mühendisleri Odası yayını, 1978.
7. MILCH, S. and LARS BERGE «Fuel Saving Vessels» Norwegian Maritime Reserch, No: 4/1981.

# Gemi Tasarımına Uygulanan Optimizasyon Yöntemleri

Derleyen : Kürşat Kaya YANMAZ (\*)

## I. GENEL OLARAK TASARIM VE EKONOMİ

### A. GİRİŞ

Uluslararası ticaret ilişkileri değişik amaçlara yönelik gemi tiplerinin doğmasına neden olmuştur. Değişik tipte gemilerin kendisinden istenilenleri yeri-ne getirmesi için öncelikle amaçların ve isteklerin doğruca saptanılması gereklidir. Bu isteklere uygun geminin yapılabilmesi, değişik seçeneklerin birbirleri ile karşılaştırılarak, teknik ve ekonomik açıdan eniyi yapının oluşması ile ola-naklıdır.

Gemi yapımı (Özellikle ticaret amaçlı tekneler) ekonomik yarar sağlamak amacıyla yapılan yatırımdır. Top-lum içinse sosyal fayda yaratırlar. Gemi armatörü kendisi için en fazla ekonomik yarar sağlayacak yatırıma yöne-lerek, öncelikle yatırım riskini azaltmak isteyecektir. Bu istekleri karşılayacak yapının oluşması tasarımın eniyi şe-kilde yapılması ile berhasilabilir. Tüm istemleri karşılayacak bir geminin tasarılanması, hesaplanması, çizilmesi işlemi olan «TASARIM», gemi yapım mühendisinin bilgi, beceri deneyimlerine dayalı bir mühendislik çalışmasıdır. Bu aşa-mada mühendislik kavramının bir ta-nımı yapıldığında görülecektir ki yapı-lan değişik tanımlamalarınvardığı nok-ta teknik olmaktan çok ekonomiktir. Gerçekten de mühendis, teknik bir so-runu, belirli koşullar altında eniyi bi-cimde çözebilen kimse olmaktadır. Bu nedenle mühendislik uygulaması opti-mum çözüm getirmeye yönelik çalışma olmalıdır. Bu bakış açısı ile tersane ve gemi yapımı gibi tasarım da optimum çözümü aranacak bir mühendislik so-runudur.

Optimum gemi; hiç kuşkusuz be-lirli teknik koşulları sağlayan en eko-nomik gemi olarak tanımlanacaktır. Teknik açıdan bakıldığından, birden faz-la sayıda gemi aynı görevi yerine geti-recektir. Fakat bunlardan sadece bir ta-nesinin seçilmesi zorunlu ise, seçim dai-ma en ekonomik olan gemi yararına kullanılcaktır. Eğer kolayca bir «Eko-nomiklik» tanımı yapılabilsaydı eniyi tasarımi yapmak basit bir iş olacaktı. Fakat «Ekonomiklik» tanımı her za-man kolayca yapılamamaktadır.

### B. EKONOMİK KAVRAMLAR

Burada sözkonusu edilmek istenilen, gemi tasarımları için ekonomik bir ölçüt olarak kullanılabilecek değerlendirme kavramlarıdır. Bu konuda değişik tanımlamalar yapılmış ve çeşitli bağıntılar kullanılmıştır. Bunlardan bazıları bu bölüm de bazıları ise Ekonomik Kriter-le r adı altında daha sonra sunulacaktır.

Sağlanan yararın ölçümu çıkar çabasına bağlıdır. Ticaret amaçlı gemile-rin tasarımında, kâr istenilen çıkar ölçütüdür. Yatırımin boyutu ile çıkar ölçütü arasında ilişki bulunmaktadır. Kârlılığın yatırıma oranı maksimum yapılmalıdır. Kârlılık kavramı ile ilgili birçok ölçüt vardır. Bunların bazıları aşağıda açıklanmıştır.

— Kazanç (Yield) : Doğrudan kârlılı-ğın ölçümu yöntemidir. Vergiden sonra ki faiz sınırının eşdeğer yatırımı olarak tanımlanır. İskonto edilmiş para akışı yöntemi ile, daha önceden gelir ve ma-liyetler biliniyorsa hesaplanabilir.

— Sermaye geri dönüş katsayı (Cap-i-tal recovery factor) :

(\*) Gemi İnşaatı ve Mak. Müh., Denizcilik Ban-kası T.A.O., Haliç Tersanesi, İstanbul

$$CRF' = \frac{A'}{P}$$

$A' = R - Y - T$  : Vergilerden sonraki gelir.

Burada

$R$  = Gelir

$Y$  = Yıllık işletme giderleri

$T$  = Vergiler

$P$  = Yatırım

$CRF'$ , gelirler önceden saptanabilirse, geri dönüş düzgün ve tasarım seçeneklerinin ekonomik ömürleri eşit ise kullanılabilir.

— Net şimdiki değer indeksi (Net present value index) :

Gelirler bilinmiyorsa kullanılabilir.

$$NPVI = \frac{NPV}{P}$$

$NPV$  = Yatırımcı tarafından belirlenen faiz oranı esas alınarak para akışının iskonto edilmiş şimdiki değeri dir.

— Yıllık ortalama maliyet (Average annual cost) :

Gelirler bilinmiyorsa kullanılabilir. Büttün tasarım seçenekleri için aynıdır.

$$AAC = Y + CR \cdot P$$

$Y$  = Yıllık işletme giderleri

$CR$  = Verilen ekonomik ömür ve faiz için sermaye geri dönüş kat sayısı

$CR \cdot P$  = Yıllık amortisman giderleri

Gerekli navlun sınırı (Required freight rate) :

$$RFR = \frac{AAC}{C}$$

$C$  = Yıllık taşıma kapasitesidir.

Gelir bilinmiyorsa kullanılır. Fakat büttün tasarım seçenekleri için aynı değildir.

— Gemi kazanç faktörü (Ship merit factor) :

$$\begin{aligned} SMF &= k \cdot \frac{W_p \cdot V}{C} = \\ &= 8760 \cdot f_s \cdot f_w \cdot f_v \cdot \frac{1}{1+f_p} \cdot \\ &\quad \frac{1}{C} \cdot \frac{W_p}{W} \cdot \frac{1}{R/W} \cdot \frac{R \cdot V}{P_B} \end{aligned}$$

$SMF$  = Gemi kazanç faktörü

$k = 8760 \cdot f_s \cdot f_w \cdot f_v / (1+f_p)$  = Servis sabiti

$W_p$  = Taşınan yük

$V$  = Tasarım hızı

$C$  = Yıllık ortalama maliyet

$8760 = 24.365$  saat/Yıl

$f_s$  = Kullanma faktörü, yıllık servis saatı yüzdesi olarak

$f_w$  = Yük faktörü, tasarım yükünün yüzdesi olarak

$f_v$  = Çalışma hızı faktörü, tasarım hızının yüzdesi olarak

$f_p$  = Liman süresi faktörü, liman süresi/servis süresi

$C' = C/P_B$  = Beygir gücü-yıl başına özgül işletme giderleri

$P_B$  = Ana makina gücü

$W_p/W$  = Yük/Deplasman oranı

$R/W$  = Direnç/Deplasman oranı

$R \cdot V/P_B$  = Genel sevk verimi

## C. TASARIM YÖNTEMLERİ

Temel olarak üç tasarım yöntemi vardır.

1 — Grafik yoldan ön tasarım

2 — Varolan gemilerden yapılan tasarım

3 — Sistematiske analiz (Optimizasyon algoritması)

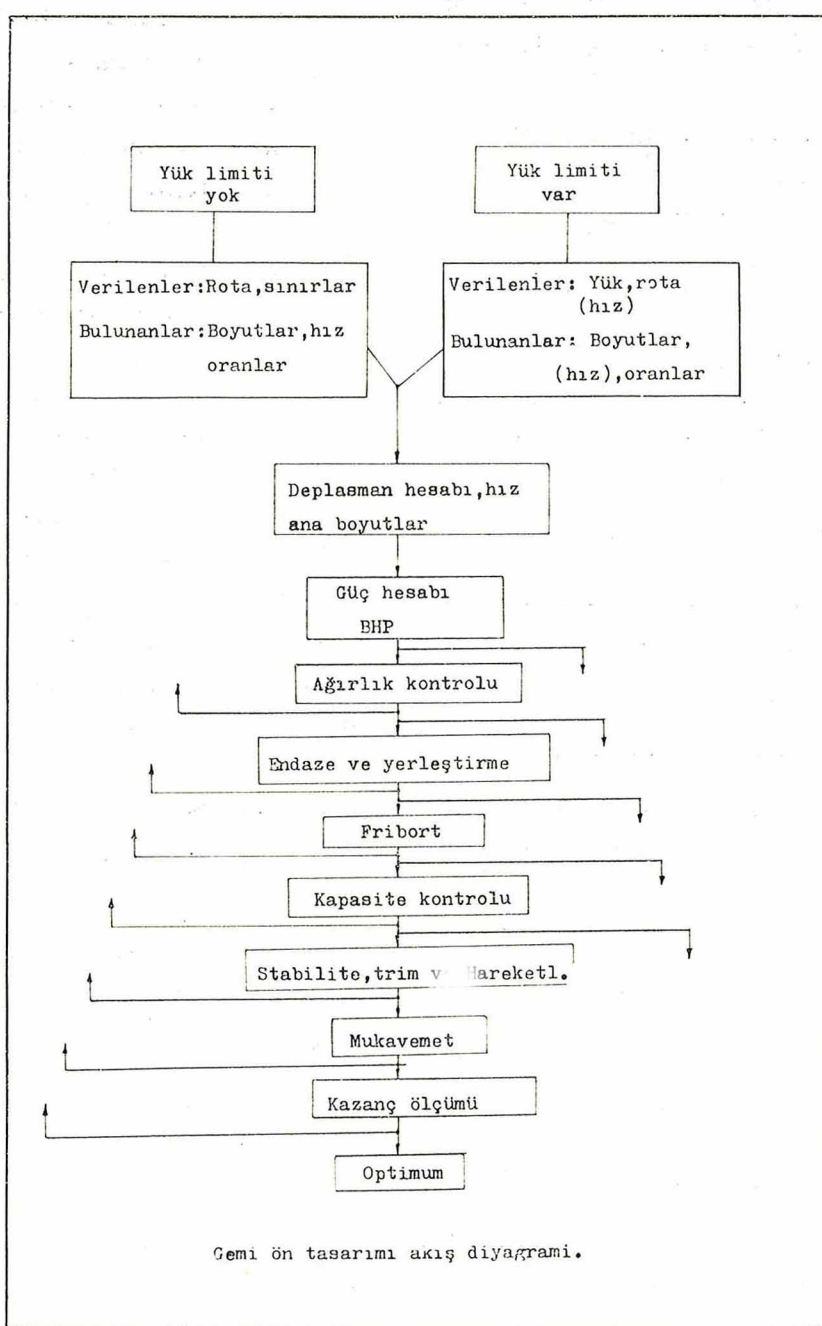
1 — Çok yaklaşık ön tasarım yöntemi olarak işe yarayan bu yol için gruplandırılmış gemi tiplerine ait istatistikî bilgilerin değerlendirilmesi ile

elde edilmiş olan tasarım eğrileri kullanılmaktadır.

2 — Varolan bir gemi temel alınarak, yeni istemleri karşılayacak değişikleride yaparak elde edilen gemi tasarımındır. Bu değişikler çeşitli şekillerde olabilir. Yapılması istenilen uyarlamaların diğer değişkenler üzerindeki etkileri gözönünde bulundurularak tasarım ya-

pılır.

3 — Sistematik analiz, tasarımını istenilen gemiciden, gemi sahibinin istemlerine, teknik özelliklere, değişik ulusal ve uluslararası kurallar gereği olan kısıtlamalara da uyabilecek bir ön tasarım bölgesi içinde kalınmak üzere yatay, düşey ve diagonal taramalarla bütün koşullara uyan bir geminin bulunması işlemine denir.



## II. OPTİMİZASYON YÖNTEMLERİ

### A. GİRİŞ :

Günümüzde bilgisayarlara ilişkin oldukça fazla sayıda yöntem geliştirilmiştir. Herhangi bir tasarım çalışmasında çok sayıda seçenekin karşılaştırılarak, eniyi çözümün bulunması için bilgisayarlar tasarımcıya büyük olanaklar sağlarlar. Daha önce değişik mühendislik sorunlarına uygulanan optimizasyon yöntemleri, gemi öntasarımında da yaygın olarak kullanılmaktadır.

Gemi ön tasarımda kullanılacak olan optimizasyon yöntemi; Gemi armatörünün istemlerine bağlı olarak ekonomik kriterleri max. veya min. yapacak bir çalışmadır. Optimizasyon yönteminde kullanılan ekonomik kriterler, minimum maliyet olabileceği gibi, daha önce tanımladığımız gemi kazanç faktörü, sermaye geri dönüş faktörü, en fazla kârlılık gibi kavramlarda olabilir.

TABLO I : Bağımsız tasarım değişkenleri,  $x_i$

$x_1$  = Deplasman  $\Delta$

$x_2$  = Prizmatik katsayı  $C_p$

$x_3$  = Hız - Boy oranı  $V/\sqrt{L}$

$x_4$  = Genişlik - Çektiği su oranı  $B/T$

$x_5$  = Boy - Yükseklik oranı  $L/D$

Tasarım değişkenleri saptanabilirse (bunlar arasında ilişkiler vardır) yapım, yıllık yakıt tutarı, diğer ölçütlerin hepsi hesaplanabilir.

Ön tasarımda kullanılan değişkenler :

1 — Yüklü durumdaki deplasman  $\Delta$

2 — Genişlik  $B$

3 — Boy  $L$

4 — Çektiği su  $T$

5 — Yükseklik  $D$

6 — Prizmatik katsayı  $C_p$

7 — İstenilen güç BHP

8 — Orta kesit katsayısı  $C_m$

Ön tasarım değişkenleri arasında çeşitli bağıntılar vardır. Bu bağıntılar yardımı ile bağımsız değişken sayısının Tablo I. deki 5 bağımsız değişkene dönüştüğü görülür.

Burada,

$$35 \Delta = L \cdot B \cdot T \cdot C_p \cdot C_m \text{ dır.} \quad (1)$$

$\Delta$  = Long Tons

$L, B, T$  feet olarak verilmiştir.

İstenilen gücü veren BHP de 5 bağımsız değişkenin bir fonksiyonu olarak verilebilir.

$$BHP = f(\Delta, B/T, L/B, C_p, V/\sqrt{L}) \quad (2)$$

Bu bağıntı standart seriler kaynak alınarak çözülebilir. (Taylor ve Seri 60 standart serileri gibi) Gemi tasarım parametreleri, gemi sahibi tarafından verilebileceği gibi tasarımcı tarafından saptanılması istenilebilir. Tablo II bir dizi halinde tasarım parametrelerini vermektedir.

Bunlar :

1 — Taşınılacak yük ağırlığı ve yükleme donanımları, özel tipte tekneerde bulunması gereklili olan yükler  $W_p$ .

2 — Yükün yerleştirildiği hacim ve bunlarla ilgili olan donanımların kapladığı hacim  $Vol_p$ , bu tanım  $SF = \frac{Vol_p}{W_p}$  (Yükleme faktörü) olarakta verilebilir.

3 — İki veya daha fazla liman arasında yapılması istenilen hız  $V$  (Knot). Veya seyir için iki liman arasındaki ulaşım süresi.

4 — Yakıt alma limanları arasındaki uzaklık.  $E$

Gemi sahibi tarafından uygun şekilde saptanın veya tasarımcı tarafından saptanılması istenilen parametreler, gelecekteki ekonomik ve pazarlama olanaklarının kuvvetli bir fonksiyonudur.

TABLO II. Gemi tasarım parametreleri Pij

Nasıl kullanıl- dık	1 Gemi sahib i stemi	2 Gemi sahibi istemi	3 Güvenlik istekleri	4 Navigasyon sınırı
	Optimizasyon kriterleri kısımında	Optimizasyon işlerinin girdileri	Optimizasyon işlerinin sınırı	Buyazında yer almayacaktır.
i	1 Yük hacmi Volp	Hız V	Min. fribort F	Max. boy L
	2 Yük ağırlığı	Seyir uzaklığı E	Min stabilité GM/B	Max. çektiği su T
	3 —	—	—	Max. genişlik B

## B. OPTİMİZASYON YÖNTEMLERİ VE SÜRECİ

Ön tasarımda optimizasyonun yapılabilmesi için üç temel adım vardır.

- 1 — Optimizasyon tekniğinin seçimi
- 2 — Optimizasyon kriterinin seçimi
- 3 — Eniyi sonucu elde edecek matematik modelin kurulması

Birinci adımda, diğer mühendislik alanları için geliştirilmiş olan yöntemler tamamen veya kısmen kullanılabilir.

Bu yöntemler :

- 1 — Diferansiyel hesap, Langrange çarpanları yöntemi
- 2 — Steepest Ascent (Doğrusal olmayan programlama)
- 3 — Dinamik programlama
- 4 — Rastgele değişken tarama yöntemi

Burada gemi ön tasarımına en uygun yöntem olarak 4. yöntem önerilebilir.

İkinci adımda, daha önce sözkonusu edildiği gibi bir ekonomik kriterin max. veya min. değerinin aranması zorunluluğu vardır. Değişik kriter yöntemleri

îçerisinden «Ağırlıklı çok parametreli kriter» optimizasyon yönteminde kullanılır. Bu optimizasyon kriterinin kullanılmasının temel nedenlerinden biri, gemi tasarım işlemlerinin matematiksel modelinin doğası gereği Tablo II deki parametrelerden ikisinin tasarım işlemine doğrudan girmesi yerine, optimizasyon kriterinin bir parçası olarak ele alınması gerektiği bulunmuştur. Kriterin ayrıntıları daha ileride tartışılacaktır.

Üçüncü adımda, (1) ve (2) denklemlerine ek olarak çok sayıda bağıntının kurulması ile ilgilidir. Bunlar gemi tasarım işlemini matematiksel terimlerle ifade edebilmek ve maliyet hesaplarının yapılabilmesi için gereklidir.

Gemi tasarım işlemlerinden hiçbir kapalı formdaki matematiksel ifadeler şeklinde değildir. Yani tüm değişkenleri belirli bir denklemde biraraya getirecek bir bağıntı oluşturmak hemen hemen olanaksızdır. Örneğin matematik modeldeki bazı bağıntılar tablolar halinde verilmiştir. Eğer tüm bağıntılar En küçük kareler veya başka eğri uydurma yöntemleri ile kapalı formlu ifadelere indirgenebilirse optimizasyon işleminde language çarpanları yöntemi kolaylıkla kullanılabilir. Fakat gemi tasarım bağıntı-

larından çoğu yüksek dereceden (Non-lineer) olduğundan ve dolayısı ile doğrudan yöntemlerle çözülemediğinden, rastgele tarama yöntemine göre, diğer yöntemlerin sonuç değerleri tartışılabilir. Rastgele değişken tarama yönteminin optimizasyon yöntemi olarak seçilmesinin nedeni bu olmaktadır.

### III. RASTGELE TARAMA YÖNTEMİ

#### A. TANIMLAR VE GENEL YAKLAŞIM

Gemi tasarım işleminin tek sayısal çıktısı (Belirli tasarımın görece kazancını belirleyecek olan)  $c$  optimizasyon kriteridir.  $c$ 'nin max. veya min. mu değeriinin istenileceği kriterin tek tek terimlerinin doğasına bağlıdır. Yük gemisi tasarım modeli için optimizasyon kriterinde en az maliyet terimi kullanılmaktadır.

$c$  terimi çok bileşenli iki vektörün fonksiyonudur.

Tablo I,  $x_i$ ; Tablo II,  $P_{ij}$

$$X = (x_1, \dots, x_n)$$

$$(x_i)_{\min} \leq x_i \leq (x_i)_{\max}$$

$$P = \{p_{ij}\}$$

$c$  fonksiyon şeklinde yazılırsa,

$$c = f(X, P)$$

$c$ 'nin geometrik yeri  $n$  boyutlu yüzeydir. Bu özelliği  $f(X, P)$  yi oluşturan çeşitli bileşenlerin değerlerine ve bu bileşenlerin birbirleri ile olan ilişkilerine bağlı olarak değişir. Verilmiş bir  $P$  dizisi için (Armatörün istekleri veya başlangıçta şartanan istemler) sonuç birçok sayıda üç değer (çözüm) içerir, fakat bu üç değerlerden yalnız bir tanesi  $C$  (optimum çözüm) mutlak min. veya max. dur.

$$C = f(\bar{X}, \bar{P})$$

Burada  $\bar{X}$  verilen  $\bar{P}$  dizisine bağlı olarak elde edilen optimum çözüm  $C$  için,

optimum bağımsız  $x_i$  bileşenleridir. Gemi ön tasarımları aradığımız değerlerde bunlardır.

$$\bar{X}' = (\bar{x}_1', \dots, \bar{x}_i', \dots, \bar{x}_n')$$

Başka bir deyişle  $\bar{X}'$  verilmiş bir  $P$  için ( $P$ ) nin,  $c$  ve  $C$  nin istenen min. (max) değerini sağlayacak tek vektördür. Burada amaçlanan yukarıda da sözkonusu edildiği gibi  $\bar{X}'$  bulmaktır.  $\bar{X}'$  bulmanın tek yolu  $c=f(X, P)$ 'ye kapalı bir forma çözüm oluşturmakla olanaklıdır. Başlangıçta da sözedildiği gibi kapalı bir form oluşturabilmek gemi tasarımlı için pek kolay olmamaktadır. Burada  $\bar{X}'$  nin optimum çözümü için kapalı bir yaklaşım veren işlem yeterli sayılabilir.  $c$ ,  $C$  için kabul edilebilir eniyi yaklaşım olsun ve  $\bar{X}$  belirli bir  $\bar{P}$  için ( $P$ ),  $c$ 'yi veren vektör olsun.

$$\bar{c} = f(\bar{X}, \bar{P}) \quad (\text{Optimum çözüme yakın bir çözüm})$$

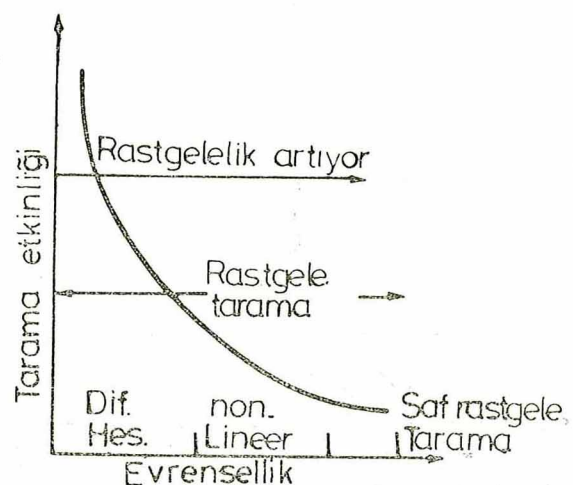
$$\bar{c} \rightarrow \bar{C}$$

$$\text{ve } \bar{X} = (x_1, \dots, x_n) \quad \bar{X} \rightarrow \bar{X}'$$

$\bar{X}', C'$  yi minimize etmeyi amaçlayan bir yöntemle yaklaşık olarak elde edilebilir. Burada

$$\Delta C = \bar{C} - \bar{c} \rightarrow 0$$

Başlangıçta da belirtildiği gibi bu çalışmada uygulanmak üzere seçilmiş bulu-



Şekil 1. Tarama etkinliğine karşı evrensellik.

nan yaklaşım Rastgele Tarama yöntemidir. Bu n boyutlu  $X$  vektör uzayını örnek uzay olarak ele alır.

$$X \equiv (x_1, x_2, \dots, x_i, \dots, x_n)$$

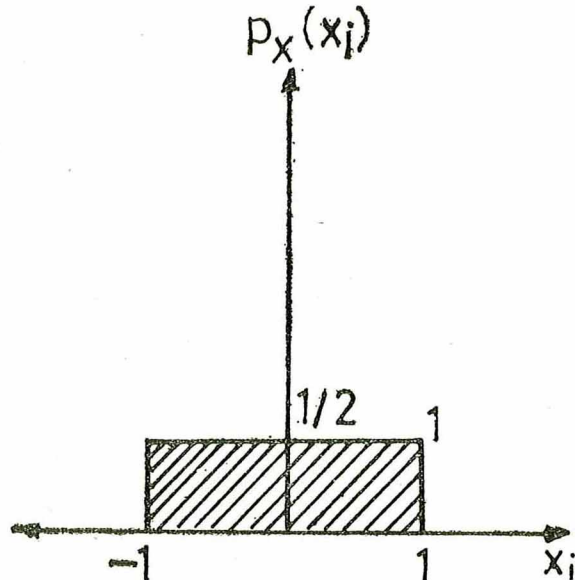
$$x_i \rightarrow (x_i)_{\min} \leq x_i \leq (x_i)_{\max}$$

$\bar{X}$  aranması  $c$ 'nin tekrarlı değerlenmesi  
 $c$ 'nin her hesaplanması için gerekli  
siyle olasıdır.  $c = f(\bar{X}, \bar{P})$  şeklindedir.  
 $X$  bileşenlerinin değerlerinin seçimi yön-  
temi rastgele tarama yönteminin can-  
alıcı noktasıdır.

## B. ÜSTEL RASTGELE TARAMANIN GENEL ÖZELLİKLERİ

Saf bir tarama yöntemi güçlü fakat üstün bir yöntem değildir. Güçlüdür çünkü; Yöntemle hesaplanan  $c$ 'lerin sayısını artırmakla  $C$  uc değerlerinin hassas konumuna yakın  $c$  hesaplama olasılığı artar. Fakat yine bu nedenle de saf rastgele taramanın etkinliği düşüktür. Yani  $C$  ulaşmak için çok sayıda  $c$ 'nin hesaplanması gereklidir. Bunun yanında aramanın rastgeleliği azaldıkça etkinliği artacaktır. Bu durum Şekil 1. de gösterilmiştir.

Rastgelelik kavramı bir değişkenin clasılık yoğunluk fonksiyonu cinsinden ifade edilebilir. Örneğin Şekil 2. de



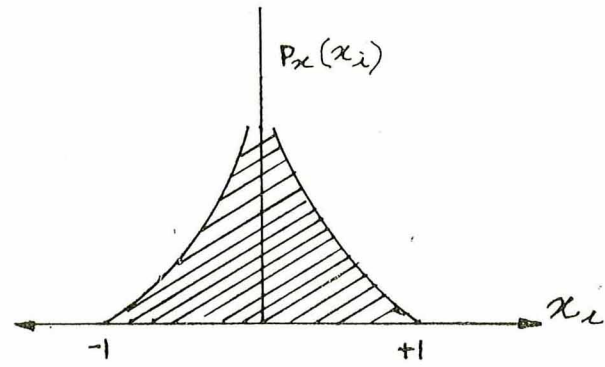
**Sekil 2.** Bir saf rastgele tarama yöntemi için olasılık yoğunluk fonksiyonu.

$P_x(x_i)$  olasılık yoğunluk fonksiyonu saf tarama yöntemi için  $x_i$  fonksiyonu olarak gösterilmiştir. Diğer bir deyişle  $x_i$ 'nın  $-1$  ile  $+1$  arasındaki herhangi bir değerinin gelme olasılığı, sabit veya aynı olacağını ve  $x_i = -1$  ve  $+1$  dışındaki değerlerinin olasılığının sıfır olacağını göstermektedir. Şekil 3. de; Saf rastgele taramadan daha az rastgele olan bir arama tekniğinin Olasılık yoğunluk fonksiyonu gösterilmektedir. Son olarak saf deterministik bir yöntemin olasılık yoğunluk fonksiyonu  $x_i$ 'nın belirli bir değerinde sonsuza sıçrayış şeklinde dir.

Rastgelelik derecesi daha önce taramıldığı gibi evrensellik derecesine bağlıdır Bir tarama yöntemi ne kadar fazla rastgele ise bu işleme uygulanabilecek fonksiyon tiplerinin sayısında o kadar fazladır Dolayısı ile uc değeri aranan fonksiyonla ilgili olarak fazla bir şey bilmeyorsak işe oldukça evrensel bir yöntemle başlanmak istenilir Bir tarama yönteminin gerçek uygulaması sırasında, bu fonksiyon hakkında çok şey öğrenilir Tarama yönteminin rastgeleliği azaltılmak istenilen birşeydir Çünkü C'ye yaklaşmak için yapılacak hesaplamalarının sayısı azalır Üstel kullanılarak evrensellik ayarlanabilir. Bu yolla rastgelelik azaltılabilir.

### C. ÖRNEKLEME ÇEVİRİMİNİN 5 ADIMI :

Eğer tam bir optimizasyon işlemi için  $c$ 'nin  $K$  kere hesaplanması gereki-



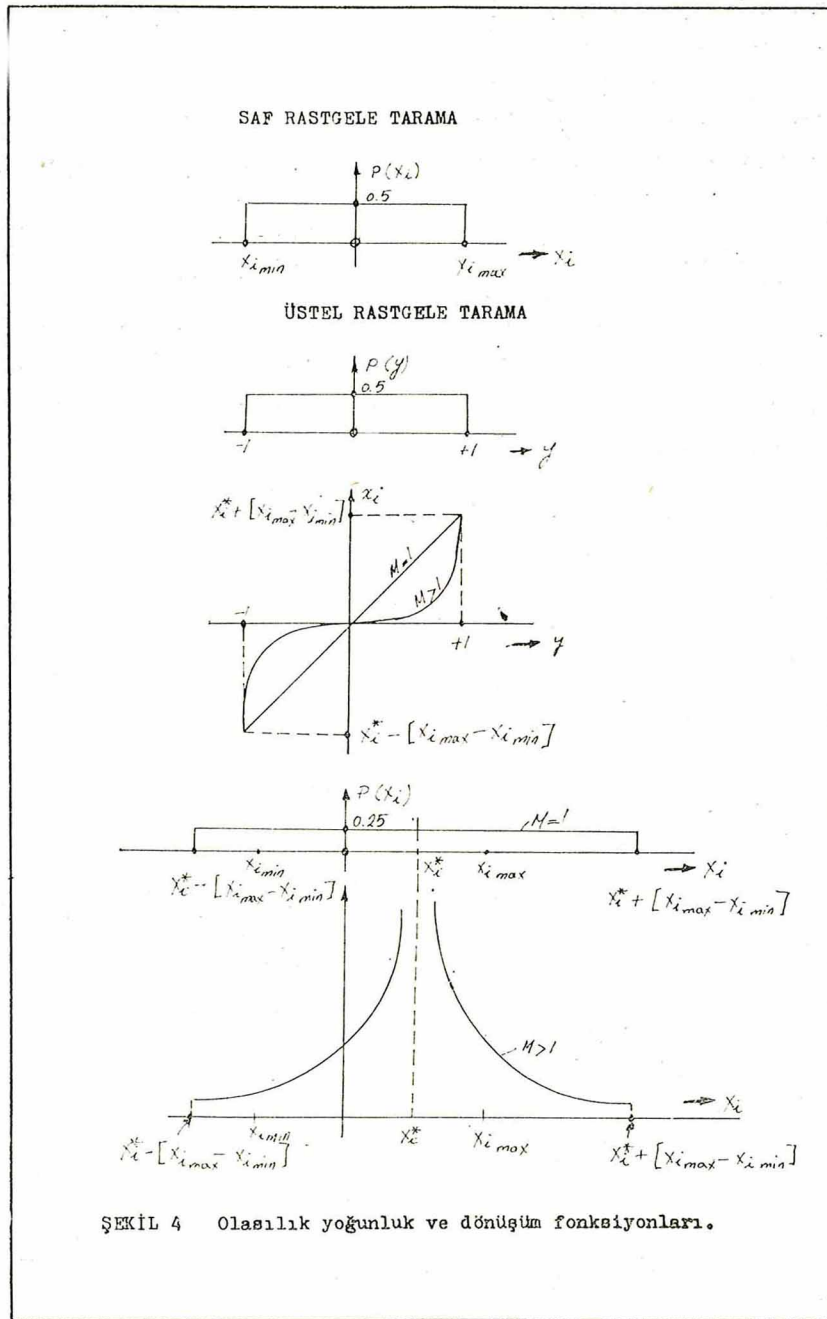
### SEKİL 3.

yorsa, yani  $K$  kere örneklemeye çevrimi söz konusu ise, bu durumda incelememiz gereken,  $1 \leq k \leq K$  bölgedeki  $k$ . çevrimim olduğu varsayılmaktadır. Yine bu  $k$ .inci  $X'$ 'in bileşenlerinin, yalnız bir tanesi örneğin  $(x_r)$   $r$ .nci bileşen ( $1 \leq r \leq n$ ) için yeni bir değer oluşturduğu varsayılmaktadır.  $k$ .inci örneklemeye çevriminin beş adımlının kısa bir özeti şu şekelede dir.

1. Birinci adımda dönüşümün  $X'$ 'in

$r$ .nci bileşeni için yeni bir değer üretmeden önce, dönüşümün uygulanıp uygulanmayacağı konusunda bir karara varmak gereklidir.

2. Birinci adımda karar verilen dönüşüm kullanılarak  $r$ .nci bileşenin yeni değeri ortaya çıkarılır. Bu adımda  $X'$ 'in  $1$ .nci ...,  $r$ .nci  $-1$  ...,  $r$ .nci  $+1$  ...  $n$ .nci bileşenleri için hangi değerlerin kullanılacağı konusunda verilecek karar tartışılacaktır.



ŞEKİL 4 Olasılık yoğunluk ve dönüşüm fonksiyonları.

3. İkide belirlenen  $x_i$  değerleri kullanılarak nümerik çıkış yarı gemi tasarım işleminin matematiksel modelinin  $c=f(X, P)$  çıkışları hesaplanır.

4. Üçüncü adımda elde edilen yeni  $c, c^*$  (Bir önceki çevrimde bulunan) ile karşılaştırılır.  $c^*=f(X^*, P)$  daha önceki  $(1, 2, \dots, k-1)$  örnekleme çevrimlerinin en iyi çıktısıdır. Eğer yeni  $c, c^*$  dan daha iyi ise (Yük gemisi modeli için min. aranmaktadır. Yani  $c, c^*$  dan küçük ise  $c^*$  nın yerine geçer)  $c^*$  yeni  $c$ 'nın değerini alır. Yani  $c$ 'nın sonucu olan  $X$  bileşenlerinin yeni değeride yeni  $X_i^*$  olur. Yeni  $c, k$ .ncı örnekleme çevrimine başlamadan önce,  $c^*$  dan daha kötü ise bu yerine koyma yapılmaz atlanır.

5. Tarama yönteminin sonuçlanma koşulu irdelenir. Koşul sağlanmamışsa tarama işlemi birden beşe kadar tekrarlanır. Eğer koşul sağlanır ise tarama biter ve  $c^*, X^*$  değerleri  $c$  ve  $X$  (Optimum değerler) yerine geçer.

#### D. ÖRNEKLEME YÖNTEMİNİN ADIMLARINDA KULLANILAN YÖNTEMLER :

Bir önceki bölümün beş adımı tipik bir örnekleme çevrimi hakkında genel bir nosyon verir. 1, 2 ve 5. adımlarda kullanılan yöntemler toplam etkinliği ve tarama işleminin yakınsaklığını belirler. Bunlar aşağıda ayrıntılıyla tartışılacaktır.

Adım 1.

Şekil 2 deki olasılık yoğunluk fonksiyonu Şekil 3 de gösterilen türe dönüşüren dönüşüm fonksiyonu Şekil 4. de gösterilmiştir. Şekil 4. de

y: Algoritma tarafından üretilen sayı

$$-1 \leq y \leq 1$$

$$P_y(y) = 1/2 \rightarrow -1 \leq y \leq +1 \text{ için}$$

$P_y(y) = 0 \rightarrow$  diğer tüm değerler için  
 $\psi(y) = x_i$  vermek üzere y'ye göre değiş-

sen dönüşüm,  $\psi(y) = x_i$ ,  $P_x(x_i) = x_j$ 'nın olasılık yoğunluk fonksiyonu veya  $x_i$  tarama yoğunluğu fonksiyonudur.

$P_y(y) dy$ , y ile  $y+dy$  arasında kalan rastgele sayıların bir bölümü olacağını ve bölüm  $x_i = (y)$  ve  $x_i + dx_i = \psi(y+dy)$  bölgesi içersinde dönüştürüleceğinden

$P_x(x_i) dx_i = P_y(y) dy$  ve dolayısıyla

$$P_x(x_i) = \frac{P_y(y)}{(dx_i/dy)} = \frac{1}{2(dx_i/dy)} = \frac{1}{2(d(y)/dy)} \quad (3)$$

$-1 \leq y \leq 1$  için şeklindedir.

$P_y(y) = 1/2$ ,  $\varphi(y) = x_i$  dir. Bu sonuç şu iki şekilde kullanılabilir.

1.  $\psi(y)$  dönüşümünün formu ve eğimi  $P_x(x_i)$  olasılık yoğunluk fonksiyonun formu belirlenerek seçilir.

2. Olasılık yoğunluk fonksiyonunun formunda,  $\psi(y)$  dönüşümünün formu belirlenerek seçilebilir.

Burada ikinci yaklaşım kullanılmıştır.

Dönüşüm şu üstel şekildedir :

$$\psi(y) = x_i = x_i^* + [(x_i)_{\max} - (x_i)_{\min}]y^M \quad (4)$$

Burada  $(x_i)_{\min} \leq x_i \leq (x_i)_{\max} \quad i=1, \dots, n$

ve M: Dönüşüm üsteli

Denklem (4) de  $x_i^*$  bulunması eniyi  $c$ 'ye, yani daha önceki örnekleme çevrimindeki  $c^*$ 'a karşı gelen  $x_i$  değerinin gözönüne alınmasını sağlar.

(4) Denklemi (3) denkleminde yerine konursa,

$$P_x(x_i) = \frac{1}{2^M ((x_i)_{\max} - (x_i)_{\min})} \left[ \frac{x_i - x_i^*}{(x_i)_{\max} - (x_i)_{\min}} \right]^{\frac{1-M}{M}} \quad (4a)$$

Eğer  $M=1$  ise denklem (4a) da görüldüğü gibi  $P_x(x_i) = st$  bu da Şekil 2. de ve 4 deki saf rastgele aramaya karşılık gelen olasılık yoğunluk fonksiyonudur.  $M$  birden büyük değerler aldıkça tarama yoğunluk fonksiyonu Şekil 3. ve 4 de gösterilen genel formu alır.  $M$  büyüdünce  $x_i$  civarında tarama yoğunluğu artar.

Her tam optimizasyon işleminde (4) denklemiin  $M$  üsteli için yaklaşık 4 aşama vardır. Herhangi bir tam optimizasyon işleminin örnekleme çevrimlerinin toplam sayısının ilk % 60 için  $M=1$  (saf rastgele tarama). Bundan sonraki % 20 için  $M=3$ , daha sonraki % 10 için  $M=5$  ve son % 10 içinde  $M=7$  alınmalıdır. Özett olarak (4) denklemi ile gösterilen dönüşüm 2. adımda gereken yeni  $x_r$  değerinin bulunması için 1. adımda kullanılmalıdır.  $k$ inci örnekleme çevrimi için (4) denkleminde kullanılması gereken  $M$  değeri  $k/K$  oranına bağlıdır.

$k/K$	$M$
0.00 — 0.60	1
0.60 — 0.80	3
0.80 — 0.90	5
0.90 — 1.00	7

#### Adım 2.

Bu adımda neden sadece bir tane  $x_i$ 'nın kullanıldığı sorunu akla gelebilir. Neden  $x_i$ 'lerden iki tane veya tüm  $n$  tanesi değil? Bunun nedenlerinden biri si su gerçekçe dayanır. (4) Denklemi ile elde edilen  $x_i$  değerlerinin daha önceden belirlenen  $(x_i)_{\min}$  ve  $(x_i)_{\max}$  sınırlarının dışına düşme olasılığı vardır. Eğer böyle birşey olursa koşul sağlanana kadar tekrar tekrar  $x_i$  değeri hesaplaması gereklidir.

Bilgisayar zamanını azaltmak için yeni hesaplanmış  $x_i$  değerlerinin daha önceden belirlenmiş sınırlar içine düşme olasılığını artırmaya çabalansızdır. Eğer her örnekleme çevriminin tüm  $x_i$ 'leri elde edilirse, bütün  $x_i$ 'lerin daha

önceden belirlenen sınırlar içine düşme olasılığı, herbirinin belirlenen sınırları içine düşme olasılığının çarpımına eşit olacaktır ki, tüm olasılıklar birden küçük olduğuna göre, bunların birbirleri ile çarpımı çok daha küçük olacaktır. Bunun için herhangi bir örnekleme çevriminde  $x$  bileşenlerinin yalnız bir tanesi, örneğin  $x_r$  alınması uygun olur.

Bu adımda 2. bileşen  $k/K$  oranında belirlenen  $M$  üsteli değeri ile (4) denklemi kullanılarak hesaplanmıştır.  $r$ . nci bileşen karşılık gelen  $x_i^*$  değeri ve  $k$ . nci çevrimin başlangıcındaki akış (4) denkleminde kullanılmıştır. Eğer  $r$ . nci bileşenin bu şekilde elde edilen yeni değeri  $(x_r)_{\min}$  ve  $(x_r)_{\max}$  sınırları dışına düşerse, istenen koşul sağlanana dek (4) denklemi kullanılarak yeni değerler hesaplanır.  $k$ . nci örnekleme çevriminde yalnız  $r$ . nci bileşen hesaplandığından  $X'$  ve  $c$ 'nin hesaplanması için  $k$ . nci çevrimde gerekli olan diğer bileşenlere ne gibi değerler verileceği akla gelebilir. İki yol vardır.

1. Bir önceki  $k=1$  örnekleme çevrimindeki değerler kullanılır. 2.  $k$ . nci örnekleme çevriminin başındaki  $c^*$  akışını veren, önceki örnekleme çevriminde kullanılan bileşenlerin değerleri kullanılır.

2. Yöntemin şu sakıncası vardır. Yeni örnekleme çevrimi için  $x_i$ 'lerden  $x_r$  için dışında hepsinde eski  $x_i^*$  değerlerini kullanmaya devam eder. Tüm eski  $x_i^*$  değerleri birçok çevrim boyunca çok kez kullanılmış olur. Bu da  $X$  vektörünün değişkenliğini sınırlar ve örnek uzayın daha geniş bir şekilde taranmasını engeler. Adım 2. de birinci yöntem kullanılır.

#### Adım 3.

Bu adımda  $c$  hesaplanır. Hesap adımları (aşamalar) karşılaştırılır.

## Adım 5.

Optimizasyon işleminde üç genel sonaerme kuralı vardır. 1. Tarama işleminin  $c$ 'nın kabul edilebilir değerlerinin belli sayıda hesaplanmasıından sonra sona erdirir. Yani  $k \leq K$  olması durumunda işlem son bulur.

$k$ : Kabul edilebilir örneklemme çevrimleri sayısı

$$1 \leq k \leq K$$

$K$ : Tam bir optimizasyon işleminde örneklemme çevrimlerinin toplam sayısı  $K = nN$

$n$ :  $X$  vektörünün bileşenlerinin sayısı

$N$ :  $X$  vektörünün her bileşeni için toplam örneklemme çevrimi sayısı

Adım 2. de  $(x_i)_{\min}$  ile  $(x_i)_{\max}$  arasında olmayan  $x_i$  değerleri algoritma dışı bırakılarak ve  $c$ 'nın hesaplanmadığı belirtildi. Eğer sonuç tasarım,  $p_{13}$  (TABLO II) sınırlarına uygun düşmezse, algoritma örneklemme çevriminin sonuçlarını kabul etmeyecektir. Her iki durumda da yeni bir  $X$  hesaplanacak ve  $k$ 'yi arttırmadan modele sokacaktır. Sonuç olarak  $k$  taramanın herhangi bir aşamasında hesaplanan  $c$ 'nın kabul edilebilir değerlerinin sayısının göstergesidir. 2. ikinci kural PER sınırlama değerini geçmeyen  $m$  gelişmelerinin bir dizisini sağlayan modelin  $m$  ardışık çıkışı haliinde söz konusudur. Bitme ( $c$ 'nın minimum değeri aranıyorsa) şu şekilde olacaktır.

$$C_{(k+j-1)} \leq C_{(k+j)} \text{ ve } C_{(k+j)} - C_{(k+j-1)} \leq PER$$

Burada  $k = 1, \dots, K$   
 $i = 1, \dots, m$

PER :  $m$  ardışık ilerlemelerinin herbiri- nin üst limiti.

$m$  :  $C$ 'de istenilen ardışık ilerleme- nin sayısı

3. Üçüncü son bulma yöntemi 1. ve 2. yöntemlerinin bir bileşimidir. Bu yöntemde sona erme 1 veya 2 yöntemlerinden biri sağlanır ise olur.

## E. YAKINSAKLIK KONTROLU

Seçilmiş tarama yöntemi rastgele olduğu için aynı tasarım modeline ayrı  $P$  dizisinin her seferinde uygulanması (RST)  $C$ 'nın farklı değerlerine yolaçar. Dolayısı ile  $s$  toplam uygulamaları  $s$  sayıda farklı sonuç verecektir.

$$\bar{C}_1, \bar{C}_2, \dots, \bar{C}_s$$

Burada

$$\begin{aligned} \bar{C}_i &\neq \bar{C}_j & \text{dolayısıyla} & \bar{X}_i \neq \bar{X}_j \\ i &\neq j & & \\ 1 &\leq i \leq s & & \\ 1 &\leq j \leq s & & \end{aligned}$$

$C$ 'nın  $\bar{C}$ 'ye doğru yakınsaklığını ölçmek için örnek sonuçlarının ortalamasının veya beklenen değerinin ve bu ortalamadan elde edilen standart sapmasının istatistik ölçüsü elde edilmelidir.

$$\bar{C}_{exp} = \frac{\sum_{i=1}^s C_i}{s} \quad (\text{Beklenen değer})$$

ve standart sapma

$$\sigma_c = \left[ \frac{\sum_{i=1}^s (\bar{C}_i - \bar{C}_{exp})^2}{s} \right]^{1/2}$$

## IV. OPTİMİZASYON KRİTERLERİ

### A. YÜK GEMİSİ OPTİMİZASYON KRİTERLERİ

Yük gemisi tasarım işleminin değerlendirilmesine göre bütün optimizasyon işlemlerinin üç değer içermesine karar verilmiştir. Bu üç terimden biri ekonomik kriterdir. Yük gemisi örneği için faiz sınırlamları ve yıllık yakıt harcamaları yıllık amortismanın topla-

mi olarak seçilmiştir. Girişte de belirtildiği gibi yük gemisi optimizasyon kriterinin öteki iki termi gemi sahibinin istemler ile ilgilidir. Bunlar yükleme ağırlığı ve yükleme hacminin (istifleme veya yükleme faktörü) TABLO II. de verilen  $P_{11}$  büyüklükleridir.

Bu iki parametrenin belirli değerlerinin gemi tasarım işleminin matematiksel modelinde çözülmesi yerine, bu parametreler optimizasyon kriterlerinde beraberce ele alınmıştır. Bunun nedeni gemi tasarım işleminin yabancılığıdır. Teorik olarak gemi sahibinin 4 istemi (Hız, seyir uzaklığı, yükleme ağırlığı ve yükleme hacmi) artı 4 temel boyutsuz parametrenin ( $B/T$ ,  $L/D$ ,  $V/\sqrt{L}$ ,  $C_p$ ) ilk değerleri tek bir deplasman sonucu verir. Bununla birlikte teorik olarak doğru olduğu halde uygulamada başlangıç deplasmanın önceden belirlenmesi çok zordur. Gemi gücünün saptanabilmesi gemi deplasmanın yanısıra, gemi hızı, öteki boyut ve katsayılarında bilinmesi gerektirir. Bu nedenle deplasman, tarama uzayının temel boyutlarından biri olarak seçilmiştir. Dolayısı ile deplasman ve öteki 4 boyutsuz parametre (Bak TABLO I.) artigemi sahibinin istediği hız ve seyir uzaklığının seçimi için tek bir yükleme ağırlığı ve S.F. vardır. Seçilen optimizasyon kriterlerinin amacı bu yükleme ağırlığı ve S.F. değerleri ile gemi sahibinin istediği değerler arasındaki hatayı en aza indirmek olmalıdır. Dolayısı ile seçilen optimizasyon kriteri üç terim içerir; 1. maliyeti minimize eder. 2. İstenen yükleme ağırlığını 3. ise yükleme hacmini bulmaya çalışır.

$$c = W_1 [\cos t]^2 + W_2 [(W_p)_{req} - (W_p)_{act}]^2 + W_3 [(Vol_p)_{req} - (Vol_p)_{act}]^2 \quad (5)$$

c: Olanaklı olan minimum değer  
Burada,

$W_1, W_2, W_3$ : Ağırlık etmenleri

$(Vol_p)_{req}$ : İstenilen yükleme hacmi

TABLO II. de  $P_{11}$  değerleri.

$(Vol_p)_{act}$ :	Gerçek yükleme hacmi
$(W_p)_{req}$ :	İstenilen yükleme ağırlığı
$(W_p)_{act}$ :	Gerçek yükleme ağırlığı
Cost:	Amortize edilmiş yapı maliyeti artı yıllık yakıt harcama maliyeti.

Optimizasyon kriterlerinin birbirinden çok farklı terimlerini sayısal olarak kullanılabılır duruma sokmak amacıyla herbiri  $10^n$ 'ye bölünmüştür. Böylelikle hepsine 10 mertebesinde bir değer verilmiş olur. Bu düzeltilmiş değerlerle biraz hesap yapıldıktan sonra, sen seçilen  $W_1, W_2, W_3$  değerleri birim olarak alınır. ( $W$ 'nin değerlerindeki küçük değişimeler sonuçları fazla etkilemez.) Tablo III verilen  $P, P$  sonuç çıkışlarınınındaki çok büyük farkların ne şekilde etkilendiğini göstermektedir. Tablodan görülmektedir ki  $W_1=W_2=W_3=1$  optimizasyon kriterinin gelişen terimleri arasında Tablo 3 verilen bütün öteki seçimlerden daha iyi uyum sağlanmaktadır.

## V. YÜK GEMİSİ TASARIM MODELİ

### A. GEMİ BOYUT KATSAYILARI VE TASARIM DEĞİŞKENLERİ ARASINDAKİ BAĞINTILAR :

Aşağıda sunulan 7 denklem gemi boyut ve katsayıları ile 5 rastgele değişken arasındaki bağıntıları göstermektedir.

$C_m$  = Orta kesit katsayısı

$$= f(V/L)$$

$$= f(x_3)$$

$C_b$  = Blok katsayısı

$$= C_p \cdot C_m$$

$$= f(x_3) x_2$$

$L$  = Gemi boyu

$$= \left[ \frac{V}{V \sqrt{L}} \right]^2 \quad (V \text{ istenilen hız})$$

$$= \left[ \frac{V}{x_3} \right]^2$$

$$C_v = \text{Hacimsal katsayı} = 35 \Delta / L^3$$

$$= \frac{35x_1}{(V/x_3)^6}$$

T = Tam yüklü su hattı

$$= \left( \frac{35 \Delta}{C_B LTB} \right)$$

$$= \left\{ \frac{35 x_1}{[x_2 f(x_3)] [(V/x_3)^2 \cdot x_4]} \right\}$$

B = Genişlik

$$= \left[ \frac{B}{T} \right] T = x_4 \left\{ \frac{35 x_1}{[x_2 f(x_3)] (V/x_3)^2 \cdot x_4} \right\}$$

D = Yükseklik

$$= \frac{L}{L/D} = L/x_5$$

## B. X BİLEŞENLERİNİN SINIRLARI

Rastgele tarama yönteminde kullanılan 5  $\bar{X}$  bileşenin sınırları aşağıda belirlendiği gibidir.

1. B/T, V/ $\sqrt{L}$ ,  $C_p$ ,  $C_v$ : Bu 4 parametre model direnç serileri kullanılarak sınır değerleri belirlenir. Şayet Taylor standart serileri kullanılır ise değişimler şu değerler arasındadır.

$$B/T : 2.25 - 3.75, 2.25 \leq x_4 \leq 3.75$$

$$V/\sqrt{L} : 0.5 \leq x_3 \leq 1.00, 0.5 \text{ den } 1.00$$

$$C_p : 0.48 \text{ den } 0.80, 0.48 \leq x_2 \leq 0.80$$

$$C_v : \text{üstten } 0.007$$

$$0 \leq x_1 \leq 0.0002 (V/x_3)^6$$

$V/L$ ,  $C_v$  ve  $C_p$ nın üst limitleri dışında bütün durumlarda bu parametreler güncel gemi tasarımlının gerektirdiğinden daha geniş bir değişim aralığına sahip-tir.

2. L/D: Bu parametrenin üst sınırı 13.5 ile sınırlanmıştır. Burada herhangi bir alt limit verilmemiştir.

$$0 \leq x_5 \leq 13.5$$

3.  $\Delta$ : Bu parametrenin değişim aralığının başlangıç değeri gemi tasarımcısının deneyimlerine dayalı olarak ya keyfi ya da  $C_v$ 'ye göre seçilir. Şayet başlangıçtaki deplasman aralığı yetersizse, rastgele tarama ilerledikçe bu durum hemen ortaya çıkacaktır.

## C. C = f(X, P) HESAPLAMASINDAKİ ADIMLAR :

Bunlar bölüm 2C nin adım 3. de anlatılan adımlardır. X'nın bileşenlerinin kabul edilebilir değerlerinin bir takımının bölüm 2C de adım 2 den hesaplandığını varsayıyalım. Aşağıdaki adımlar sıra ile yerine getirilecektir.

- a) Gemi bayutları ve katsayıları L, B, T, D ve  $C_m$
- b) Gerçek frikört
- c) İstenen frikört, eğer gerçek frikort istenen friborttan daha az ise bölüm 5A ve adım 2b deki bu tip sınırlamayı aşmak için kullanılan işlem yürütülür.
- d) Sürtünme direnci katsayısı  $C_F$
- e) Artık direnç katsayısı  $C_R$
- f) Çiplak tekne EHP
- g) İstenen toplam güç
- h) Geminin toplam ağırlığının alt grup ağırlıkları
- i) Gerçek yükleme ağırlığı
- j) Gerçek ve istenen ağırlıklar arasındaki fark
- k) Geminin toplam hacminin alt gruplarının istenen hacimleri
- l) Gerçek yükleme hacmi
- m) Gerçek ve istenen hacimler arasındaki fark
- n) Gerçek GM
- o) İstenen GM
- p) Gemi alt gruplarının yapım maliyeti
- q) Yıllık yakıt maliyeti
- r) Toplam yıllık maliyet
- s) Optimizasyon kriteri, C

### KAYNAKLAR :

1. P. MANDEL, R. LEOPOLD «Optimization Methods Applied to Ship Design» SNAME Vol. 74. 1966.
2. R. LEOPOLD «Mathematical Optimization Methods Applied to Ship Design» MIT Department of NAME Report 65-8, 1965.
3. H. NOWACKI «Computer-Aided Ship Design» The Univ. of Michigan, December 1970.
4. Ö. SAYLAN «Mühendislik Ekonomisinin Gemi ve Tersane Yatırımlarına Uygulanması» TMMOB - MMO 1978.
5. L. K. KURAS «Optimization Method and Parametric Study in Precontracted Ship Design» International Shipbuilding Progress, Vol. 23 - May 1976 No: 24 Rotterdam.

# Ticari Gemi Formlarının Islak Yüzeyi<sup>(\*)</sup>

Çeviren : Levent PAPAKER (\*\*)

Bir geminin ıslak yüzeyi, hidrodinamik alanda yillardır, direnç hesaplarında bir referans alanı olarak kullanılan bir parametredir.

Çift eğrilikli gemi yüzeyinin gerçek açının alanını hesaplamak ne yazık ki yorucudur. Gemi direnci için sözde **azaltılmış yüzey** (bazen «izdüşüm» yüzeyi diye ifade edilir)'in biraz daha doğru bir referans alanı verdiği ispatlanabilir, veya en azından kuvvetle tavsiye edilebilir. Azaltılmış ıslak yüzeyi hesaplamak, gerçek yüzeyi hesaplamaktan çok daha kolaydır. 1935'de toplanan bir uluslararası model havuz konferansında sonuç olarak ilerki bilimsel yazılarda bu azaltılmış ıslak yüzeyin kullanılması kararlaştırılmıştı.

Bu çok açık karara rağmen, gemi direnci alanındaki yetkililer, «ıslak yüzey» tanımlıyla ilgili karışıklığı yaşamaya simdiye dek devam ettiler. Önemi gözardı edilemeyen direnç hesaplamalarının yaklaşımı ıslak yüzey tanımındaki sapmalardan doğacak hataları tümüyle kapatacakmış gibi görülebilir. Sorun önemsenmeyerek, 1935'de yapılan ayarlanmanın unutulduğu görülmüştür. Sorun gerçekten sanıldığı kadar önemsemizmidir?

Gemi tasarımcısı, direnç hesabını yaparken gemisinin ıslak yüzeyi hakkında bir başka sorunla da karşılaşacaktır. Gemiyi belirlemek için kullanılan parametreler aynı olduğu halde, gemilerin tamamen farklı oldukları ve buna bağlı olarak da farklı ıslak yüzeylere sahip bulundukları gerektiğini sadece birkaç ıslak yüzey formül ve diyagramı göz önüne almıştır. Bir yumrubaş veya baş kalkımı sonuca yüzde birkaç seviyesine kadar etki edecektir. İyi belirlenmesi gereken tanımlar hakkında şüphe doğ-

ması arzulanmayan bir durum olduğundan, bu sorunlar, Danimarka Teknik Üniversitesi (Danmarks Tekniske Højskole) Deniz Bilimleri Bölümü'nde araştırma konusu olmuşlardır. Bölümün son raporlarından biri [1] sistematik olarak değişen ticari gemi form serilerine dayanan çalışmayı sunmuştur. Bu raporun başlıca sonuçları aşağıda verilmiştir.

## Tanımlar

**Azaltılmış ıslak yüzey**, ıslak kuşağıın gemi boyunca alınan ortalamasıyla gemi boyunun çarpımıdır, yani,

$$S = L \cdot (\text{ortalama kuşak})$$

Bu tanım hernekadar 1935 kararyla uyum içinde olsa da terimi daha da standardize etmek gereklidir.

## Standart ıslak yüzey :

$S_s = L_{pp} \cdot (\text{dikeyler arası ortalama kuşak})$   
dir.

Bu, her draf'tta dikeylerle sınırlanan bir yüzeyi bulmak için, gemiyi dışa sarkan kısımları kesip, eksik kısımları doldurarak «standardize» etmek demektir. Böylece, tüm kesitlerin kuşağı, kesit gerçekte olmadığı halde sanki kai-de hattına dek uzatılmış gibi ölçülür, veya omurgası eğimli gemiler için (dizayn trimi), kuşaklar omurgaya paralel ve kaide hattını mastoride kesen bir hatta kadar uzatılır.

(\*) Gulhammar, H. E. Wetted Surface well defined or simply accepted, Shipping World and Shipbuilder, October 1976.

(\*\*) Gemi İnş. ve Gemi Mak. Müh., İ.T.Ü. Gemi İnş. ve Dz. Bil. Fak. Gemi Araştırma Merkezi Taşkısla - İSTANBUL.

Bu standart ıslak yüzeye ( $S_s$ ) dayanın diyagram ve formüllerin pratik kullanımıyla iyi belirlenmiş bir yüzey bulunur, fakat, eğer gemi düşey baş ve küçük şekline sahip değilse bazı düzeltmeler gerekmektedir. Böyle düzeltme alanlarının hesaplanması, gerçekten çok basittir ve burada degeinilmeyecektir, fakat birçok tek pervaneli gemi için artı ve eksili alanlar neredeyse birbirlerini götürürecekinden, normal olarak, düzeltimi ihmali ederek ciddi bir hatanın oluşumayaceği ifade edilmelidir. Bununla beraber, gemi profilinin hiçbir zaman gözardı edilmemesi gerekmektedir.

Hiçbir ıslak yüzey katsayısının,  $B/T$  oranından bağımsız olamayacağını ifade etmek de gereklidir. Bu bağımlılıkla ilgili sorunlara ilerde kısaca degeinilecektir, fakat formül ve diyagramları bulabilmek için standart, genişlik/draft, oranını keyfi olarak

$$B/T = 2.5$$

almak ve bu oranın ilerki değerleri için esas kabul etmek kararlaştırılmıştır.

Şunu da ifade etmek gereklidir: Bir formül veya diyagram sadece bir tip forma uygunluk gösterebilir. Bu nedenle bu yazında verilecek [S] diyagramı ve S formülü sadece «normal» form için geçerlidir. «Normal» form şeklinin yorumu yüzünden sorunlar doğabileceğinden sözü geçen raporda [1] «normal» tanımına yardımcı olmak ve U ve V şekillerinin farklı derecelerini ayırtetmek için bir katsayı yöntemi tanımlanmıştır. Bununla birlikte, görüsteki küçük bir fark sonucu fazla etkilemeyecektir, fakat okuyucuya yol göstermesi için Şekil 2 yazarın FORMDATA'da [2 ve 3] verilen tanımını göstermektedir. Burada çizilmiş U ve V formları orta U ve V formlarıdır.

Bugünlerde, hidrostatik özelliklerin hesapları gemi eğrilerinin sabit ve yerince doğru nümerik ifade ile tanımlı bulunduğu durumda çok çabuk ve çok

doğru olarak yapılabilir.

Ama hiçbir zaman ön dizayn aşamasında bu halde olmayacağı ve tasarımcı katsayı yöntemlerine güvenmek zorunda kalacaktır. Önceden adı geçen FORMDATA serisi tanımlanan formlar için hidrostatik verileri ve ıslak yüzey değerlerini içermektedir. Çizilen katsayı,

$$[S] = \frac{S_s}{L \cdot (B + 2.5 T)}$$

dir. Bu katsayı önce FORMDATA formlarının  $S_s$  değerini olabildiğince  $B/T$  oranından bağımsız olarak tanımlamak için geliştirilmiştir. Katsayı, bu bakımından en iyi olduğu için birçok seçenekin arasından seçilmiştir.

Görüleceği gibi [S] diğer birkaç ıslak yüzey katsayıları gibi,  $L^{-1}$  faktörü içermektedir. Eğer bir formül veya bir katsayı azaltılmış ıslak yüzeyi uygun şekilde tanımlayacaksa, bu modeli takip etmesinin kesinlikle gerekli olduğu vurgulanmalıdır. Çok popüler ve değer verilen Froude formülü

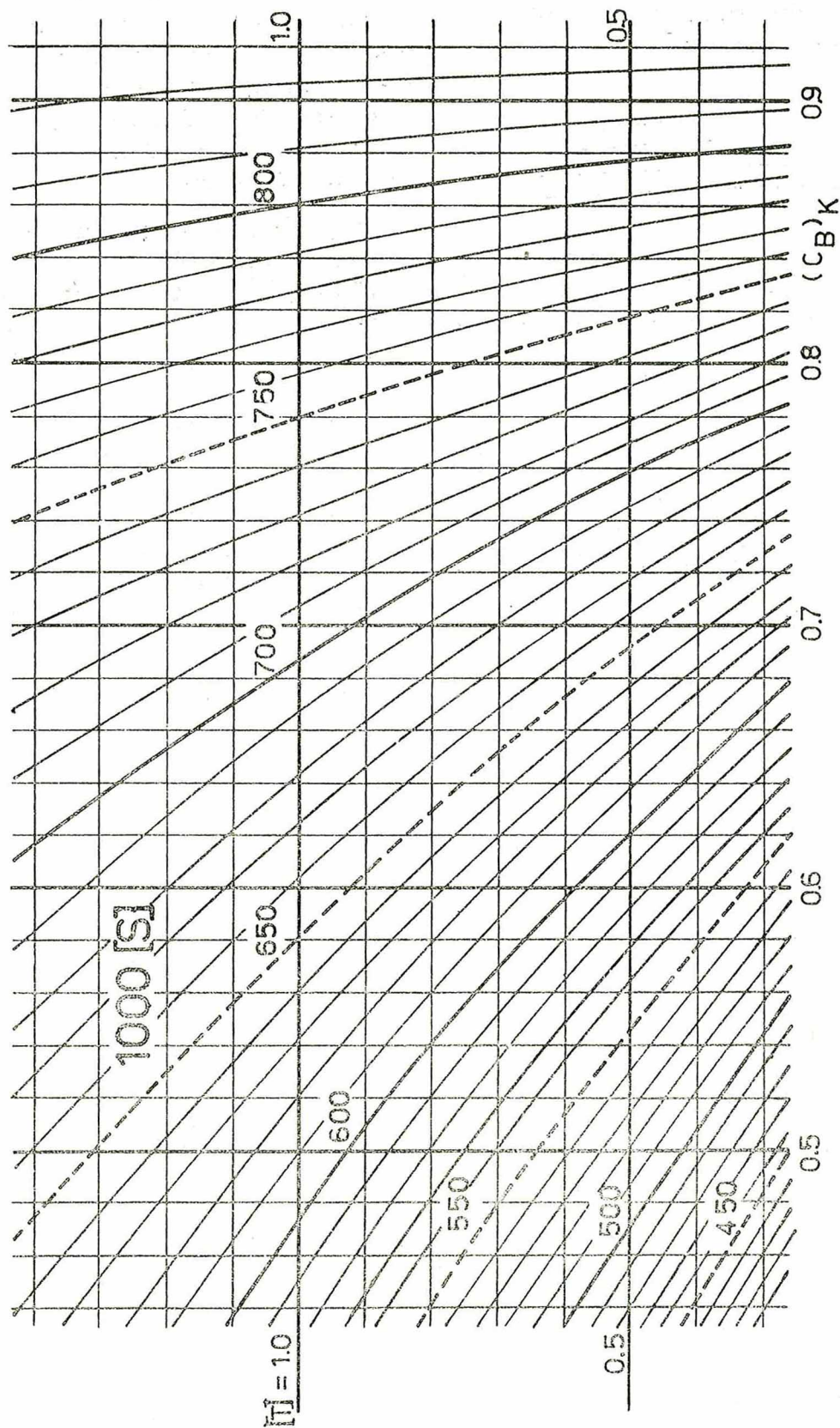
$$S = \nabla^{2/3} \cdot (3.4 + \frac{1}{2} (L / \nabla^{1/3})) \quad (\text{Metrik})$$

bu gereği yerine getirmemektedir. Formül, kuşkusuz bazı bölgelerde üstün sonuçlar vermektedir, fakat özel durumlar altında tehlikeli yanlış değerler verebilir ve büyük  $B/T$  değerlerinde tamamen uygunsuz görülmektedir.

[S] diyagramı ve aşağıdaki Mumford formülü, bununla birlikte,  $B/T$ 'den büyük derecede bağımsız olacak ve bu oranın tüm pratik değerlerini kapsayacaktır. Yine de  $B/T \geq 3.5$  için durum özellikle gözönünde tutulmalıdır.

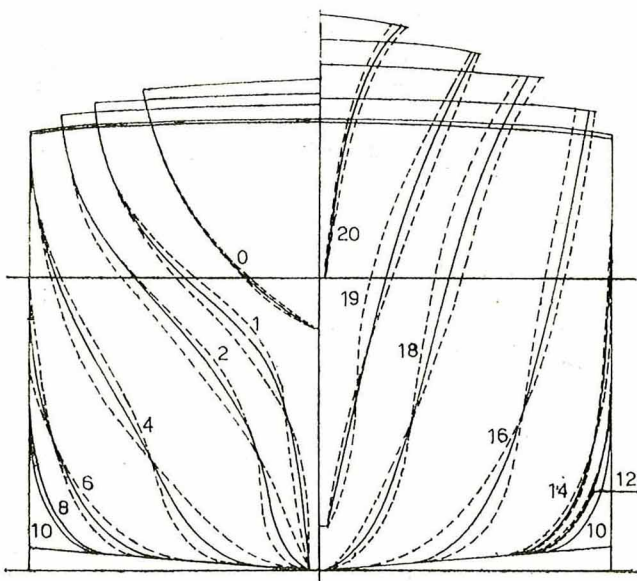
FORMDATA özellikleri ve geçerliliği temeli üzerine, [S] katsayıını boyutsuz draft.

$$[T] = T/T_k = \frac{\text{draft}}{\text{LWL'deki draft}}$$



Sekil 1 : NORMAL form tipi için geçerli olan  $[S]$  diyagramı

ve LWL'deki blok katsayısı ( $C_B$ )<sub>K</sub> 'nın fonksiyonu olarak çizerek **normal** form tipi için bir diyagram geliştirilmiştir. Diyagram Şekil 2'de verilmiştir.



Şekil 2. Aynı blok katsayısına sahip U, N ve V formlarının form planları.

Deniz Bilimleri Bölümü'nde bu konuya ilgili çalışma sürerken bazı var olan ve tamamen belirli yöntemler de kontrol edilmiştir. Froude formülünden yukarıda söz edilmiştir, Taylor ve Mumford yöntemlerinde daha büyük başarı bulunmuştur. Her iki yöntem de üstün sonuçlar vermektedir. Raporda [1] standart hale düzeltlenen Taylor C diyagramının yeni bir uyarlaması verilmiştir. Aşağıda Mumford formülünün değiştirilen uyarlaması verilmiştir.

Standart Islak Yüzeyin değiştirilmiş Mumford(\*) formülü (Normal form için) :

$$S_s = 1.025 L_{pp} \cdot ((C_B)_{pp} \cdot B + 1.7 \cdot T) \dots \\ (\text{Metrik})$$

Yapılan kontrol, bu formülün, hatırlanması kolay ve basit yapıda olduğu gibi, üstün olduğunu ve şiddetle salık verilebileceğini göstermiştir. Bu formül, büyük bir B/T ve T bölgesinde uygulanabilmektedir.

Gerçekte sadece birkaç gemi «normal» formda olduğu halde, birçok fark-

lı tekne tipleri için tartışma ile bu formül kullanılabilir. Bununla beraber, gemi hatlarının form şekli geminin hem başı hem de kıcı için düşünülmelidir. Eğer form tipi «normal» olarak düşününlenden çok farklısa (Şekil 2'ye bak.) normal tip diyagramdan bulunan  $S_s$  değeri düzeltilmelidir.

Böyle bir düzeltim için bir diyagram Şekil 3'de verilmiştir. Düzeltim  $S_s$ 'in yüzdesi şeklärindedir ve draft ve blok katsayısının fonksiyonu olarak verilmiştir. Şekil 3'deki diyagramı az çok U formunda olan gemi hatları için düzeltimi verir. (Şekil 2'ye bak). Düzeltimin, form tipindeki değişme ile yaklaşık «doğrusal» olarak değiştiği söylenebilir, örneğin, eğer hatlar aşırı U formunda ise o zaman diyagramdan alınan değerler iki ile çarpılır, ve eğer hatlar V formunda ise czaman düzeltme diyagramının işaretini değiştirilir.

Sonuçta, form tipinin tahmininde baş ve kıcı gemi formlarının ikisine bir den önem vermelidir. Böylece bir üçta orta U formu, diğer üçta ise orta V formu, normale eş bir tam form meydana getirir.

Yumru başlı gemilerin baş kısmında aşırı U formuna sahip oldukları düşünülebilir.

### Gerçek Islak Yüzey

Gemi yüzeyinin gerçek açımını almak, bazı **pratik** uygulamalarda gerekli

(\*) Çevirenin notu :

Bu formülün orjinali aşağıdaki formül olup, Mumford'un araştırmalarına dayanılarak 1895 de Trans. INA'da Denny tarafından yazılmıştır, [7]. %1 sapma ile dolgun yük gemileri için geçerlidir.

$$S = 1.7 LT + \frac{\nabla}{T}$$

Burada,  $S$  = Tam ıslak yüzey, ft<sup>2</sup>

$L$  = Dikeyler arası boy, ft

$T$  = Ortalama kalıp duraftı, ft

$\nabla$  = Kalıp deplasman hacmi, ft<sup>3</sup>

olabilir. Bu nedenle, özel amaçlar için azaltılmış yüzeyi biraz büyüterek gerçek yüzeye nasıl dönüştürüleceğinin bilinmesi gerekmektedir.

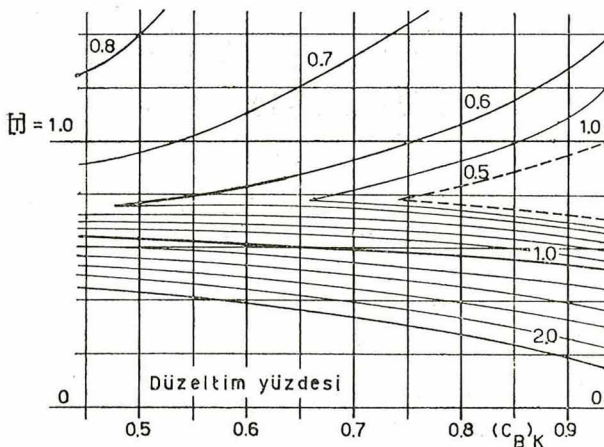
Aşağıdaki formül, birçok durumda, en azından  $L/B > 4$  için güzel sonuçlar verecektir.

$$S_{tr} = S_p + \sqrt{(S_R - S_p)^2 + 4 \cdot A_x^2}$$

Burada,  $S_{tr}$ , gerçek yüzey;  $S_R$ , azaltılmış yüzey ve  $S_p$  gemi yüzeyinin paralel kısmının alanıdır, yani, sadece «paralel gövde»nin değil yüksek suhatlarında da olsa tam genişliğe sahip olan yüzeyin tümünün alanıdır.  $A_x$ , ise orta kesit alanıdır.

### Sonuçlar

«Islak yüzey» büyülüğünün önemi bindokuzyüzotuzlardan bu yana kimsenin gözüne çarpmamıştır. Islak alandaki bir hata direnç katsayılarından herhangibirindeki bir hata ile, en azından ,aynı önemdedir.



Sekil 3: NORMAL'den sapan form tipleri için  $S_s$  düzeltimi. Diyagram, orta U formu için geçerlidir.

Bu nedenle, ITTC sorunları göz önünde tutmalı ve uygun bir tanıma hala yayınlanan yazınlarda bulunan hata

ve kuşkuları ortadan kaldırmak için ITTC standart semboller ve tanımlar listesinde yer verilmelidir.

Gemi tasarımcıları için ders kitapları ve el kitapları yazacak olan yazarlar, dizayn grafiklerinde veya ıslak alan formüllerinde uygun tanımları kullanmaya zorlanmalıdır.

### Semboller

$L$  = Hesap boyu, kural olarak dikeyler arası boy

$B$  = LWL'de kalıp genişliği

$T$  = BL'e dek olan gerçek draft

$T_K$  = BL'e dek dizayn draft (LWL draftı)

LWL = Dizayn yüklü su hattı

[T] = FORMDATA'ya göre boyutsuz draft :  $[T] = T/T_K$

$B/T_K$  = Genişlik - draft oranı. Standart değeri  $B/T_K = 2.5$ 'dur.

$(C_B)_K$  = LWL'de blok katsayısı

$S$  = Islak yüzey, genel

$S_s$  = Standart ıslak yüzey. Dikeyler arasında azaltılmış ıslak yüzey, diyagramda tariflendiği gibi

[S] = FORMDATA'ya göre ıslak yüzey katsayıısı :

$$[S] = \frac{S_s}{L(B + 2.5 T)}$$

### KAYNAKLAR :

1. GULDHAMMER, H. E., wetted Surface of Merchant Ship Forms. Dept. of Ocean Engineering. Technical University of Denmark, 1975.
2. GULDHAMMER, H. E. FORMDATA Danish Technical Press, 1962.
3. GULDHAMMER, H. E. FORMDATA II, 1963.
4. GULDHAMMER, H. E. FORMDATA III, 1967.
5. GULDHAMMER, H. E. FORMDATA IV, 1969.
6. GULDHAMMER, H. E. FORMDATA V, 1973.
7. COMSTOCK, J. P. Principles of Naval Architecture, SNAME, 1977.

# Gemilerin Dizayn Stabilitesi İçin $C_{RS}$ Diyagramları<sup>(\*)</sup>

Çeviren : Mehmet ÇAĞLARCA (\*\*)

Bu yöntem gemilerin dizayn aşamasında kullanılması için geliştirilmiş-

## SEMBOLLER :

$L_{pp}$	: Hesapta kullanılan boy kâimeler arası boy veya burada tanımladığı üzere 0,97 su hattı boyu. Ticari gemiler için Uluslararası Yüklü Su-hattı anlaşması'nda belirtilen tanıma uyulabilir.
$L_{WL}$	: Yüklü su hattı boyu
B	: Yüklü halde su kesiminde genişlik
D	: Kaide hattından güvertedeki en alçak noktaya kadar olan derinlik
$D_1$	: Şiyer için düzeltilmiş derinlik
	$D_1 = D + \frac{S_A + S_F}{\delta}$
	$S_A$ - Kiçta max şiyer yüksekliği
	$S_F$ - Başta max şiyer yüksekliği
$D_{11}$	: Şiyer ve üst yapılar için düzeltilmiş derinlik
	$D_{11} = D_1 + \Delta D'_H + \Delta D'_s$
$\Delta D_H$	: Güverte evleri için düzeltme
$\Delta D_H'$	: eğim açısından güverte evleri için düzeltme
	$\Delta D_H' = k_H \cdot \Delta D_H$
$\Delta D_s$	: Üst yapılar için düzeltme
	$\Delta D_s = \frac{h_p \cdot l_p - h_p \cdot l_p}{L_{pp} \cdot B}$
$\Delta D'_s$	: eğim açısından üst yapılar için düzeltme
	$\Delta D'_s = k_s \cdot \Delta D_s$
$\Sigma V$	: Güverte evlerinin toplam hacmi
$h_p, l_p$	: Kîç kasaranın yükseklik ve boyu

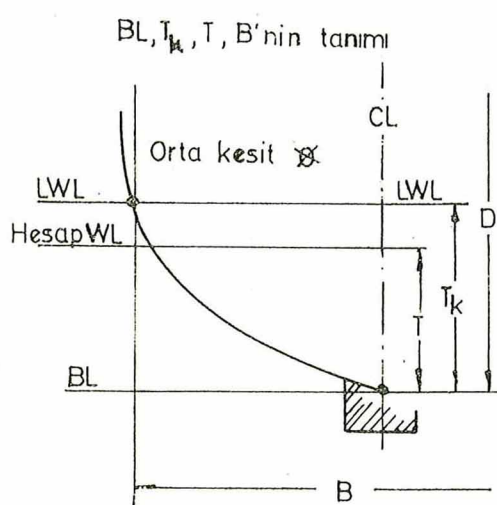
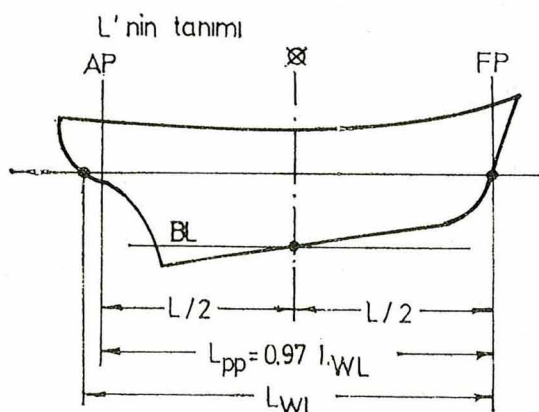
$h_f, l_f$	: Baş kasaranın yükseklik ve boyu (Yalnız dikeyler arasında ölçülecektir.)
$k_H$	: Güverte evleri için düzeltme faktörü (Şekil 3)
$k_s$	: Üst yapılar için düzeltme faktörü (Şekil 4)
T	: Kaide hattından hesap su hattına kadar ölçülen draft
$T_K$	: Kaide hattından yüklü su hattına kadar ölçülen draft
$T_{1,5}$	: Katsayıların hesabında kullanılan draft = $D_1/1,5$
$\nabla$	: Deplasman hacmi
$\delta$	: Blok katsayısı $\frac{\nabla}{L_{pp} \cdot B \cdot T}$
$\delta_K$	: $T = T_K$ (Yüklü su hattında) durumunda blok kats.
$\delta_{1,5}$	: $T = T_{1,5} = D_1/1,5$ durumunda blok kats.
$\alpha_K$	: $T =$ durumunda su hattı alanın narinlik katsayıısı.
	$\frac{A_w}{L_{pp} \cdot B}$ (yüklü su hattında)
$\alpha_D$	: Hesap yapılan güvertedeki su hattı nar. kats.
$\beta$	: Orta kesit nar. kats. = $\frac{x \cdot A}{B \cdot T}$
$\beta_K$	: $T = T_K$ (YSH) durumunda orta kes. nar. kats.
$\beta_{1,5}$	: $T = T_{1,5} = D_1/1,5$ durumunda orta kes. nar. kats.

(\*) Gulhammar, H. E., « $C_{RS}$ -diagrams for design calculations of the stability of ships,» Ocean Engineering, Vol. 6, pp. 581-592.

(\*\*) Gemi İns. ve Gemi Mak. Müh.

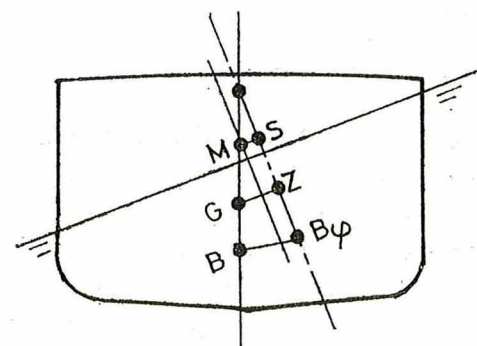
Not: Burada en büyük kesit alanına göre değil, orta kesit alanına göre tanımlanmıştır.

- T/B : Draft - genişlik oranı  
(Diyagamlardaki ana parametreler)
- D<sub>11</sub>/B : Derinlik - genişlik oranı
- GM : Metasantr yüksekliği
- BM : Metasantr yarıçapı
- GZ : Stabilite kolu  
 $GZ = GM \sin \varphi + MS$
- MS : Artık stabilite kolu
- C<sub>RS'</sub> : Standart koşullarda C<sub>RS</sub>' in değeri (Diyagram 6'dan)
- m : β nin standard'tan sapmasını düzeltten faktör (Diyagram 7'den)
- b : δ nin standard'tan sapmasını düzeltten faktör (Hesap tarzı belirtilmiştir)
- C<sub>RS</sub> : Artık stabilite katsayısı,  
 $C_{RS} = MS / BM = C'_{RS} + m [ (\beta_{1.5} - 0.75) - b (1 - \beta_{1.5}) (\delta_{1.5} - 0.5) ]$



## GİRİŞ

Günümüzde stabilite hesapları bilgisayar teknikleri ile kolayca yapılmasına rağmen dizayn aşamasında hızlı diyagramatik hesap yöntemlerine gerek sinme vardır. Bu yöntemlerden biri yazının ana temasını oluşturmaktadır. Yönteme geçmeden önce bu hesap tarzına ışık tutan ve 1947 yılında Profesör C. W. Prohaska tarafından «Artık Stabilite» başlığı altında yayınlanan bir başka yöntemi incelemekte fayda vardır.



(Şekil 1)

## «47 - YÖNTEMİ»

Bu yöntemde doğrultucu moment kolu GZ'in aşağıdaki gibi iki parçadan oluştuğu düşünülmüştür:

$$GZ = MS - GM \cdot \sin \varphi$$

GZ'in bu şekilde değerlendirilmesinin sağladığı avantaj, MS'nin bütünüyle geometrik bir değer, ve GM'in bilinen bir stabilite parametresi olmasıdır.

Böylece deplasman ve metasantrik yükseklik GM bilindiğinde, her eğim açısından moment kolumnun değeri doğrudan pratik olarak okunabilecektir. (Bak Şekil 2)

Yöntemin ana bölümü MS'nin bulunması için yaklaşık bir hesap tarzını anlatmaktadır. Hesap tarzı, dünya üzerindeki çeşitli tersanelerden alınmış çok sayıda stabilite hesaplarına dayanmaktadır. Sonuçlar «artık stabilite kolu» MS'nin katsayıları olarak diyagramlar hâlinde sunulmuştur.

Artık stabilite katsayısı  $C_{RS}$  aşağıdaki şekilde tanımlanmıştır :

$$C_{RS} = \frac{MS}{RM}$$

Eğim açısı dışındaki parametreler, draft - genişlik oranı T/B ve derinlik - genişlik oranı  $D_1/B$ 'dir. Burada derinlik siyeler için düzeltildmiştir :

$$D_1 = D + \frac{S_A + S_F}{6}$$

«47 Yöntemi» dolgun formdaki

( $C_B > 0,65$ )

ticaret gemileri için uygun değerler vermektedir.

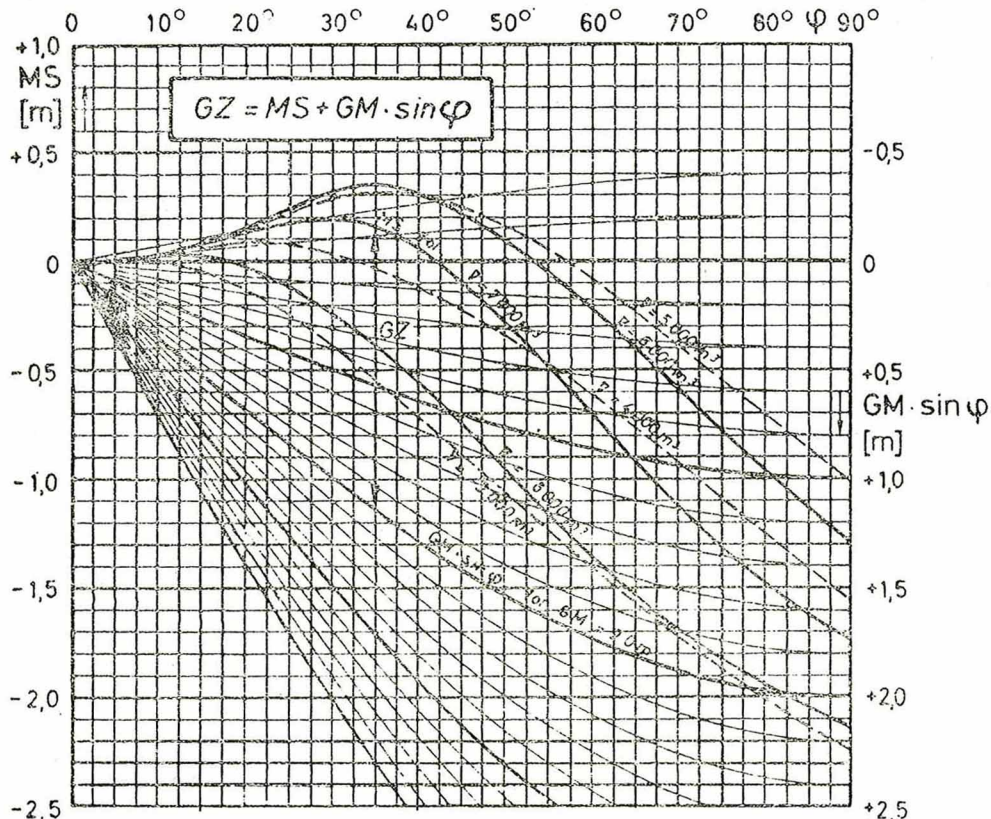
«61 - YÖNTEMİ»

Danimarka Teknik Üniversitesi'nde daha sonraki yıllarda narin gemiler için de aynı yöntem geliştirildi ve 1961 yılında yayınlandı. «61 - Yöntemi»'nden daha uzun bir çalışma gerektirmesine rağmen yine de zaman kazandırıcı bir yöntemdir.

Yöntem, balıkçı tekneleri ile ilgili olarak da geliştirilmiş ve son şeklini almıştır. Bu son şekli ile her tip gemiye uygulanabilir durumdadır.

## C<sub>RS</sub> — DİYAGRAMLARININ SON ŞEKLİ

«47 - Yöntemi»'nden son hale varış aşamasında hazırlanan diyagramların üst yapılar kadar, gemi formuna, özellikle de hem blok katsayısi, hem de orta kesit narinlik katsayısına bağlı olduğu görülmüştür. Bu iki katsayıya bağımlılık, diyagramları  $\delta$  ve  $\beta$  nin standart değerlerine göre vermek ve  $\beta$  nin değişik değerlerine karşılık bir m düzeltme faktörü veren bir seri diyagram daha oluşturmakla çözülmüştür.  $\delta$  'yı değiştirmekle gelen düzeltmenin ise aynı faktörle sağlandığı görülmüştür. Ayrıca artan  $\beta$  ile  $\delta$  'nın etkisinin azalmakta olduğu ve  $\beta = 1$  durumunda sıfır değeri aldığı aşağıdaki formülden görülmektedir.

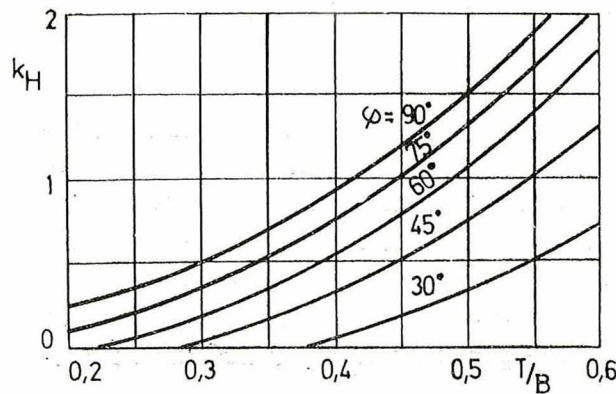


Şek. 2. Gemi kullanımı için stabilité diyagramı.

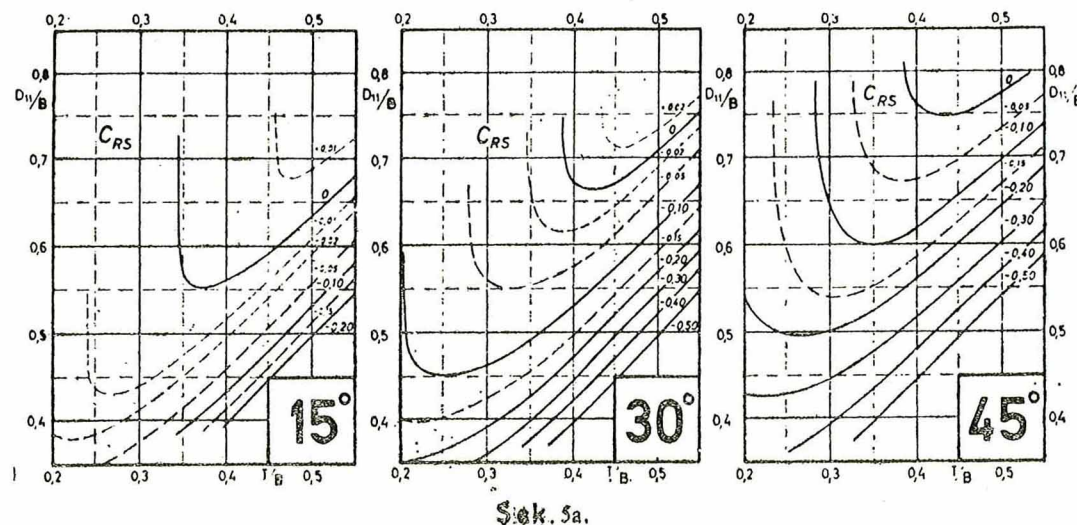
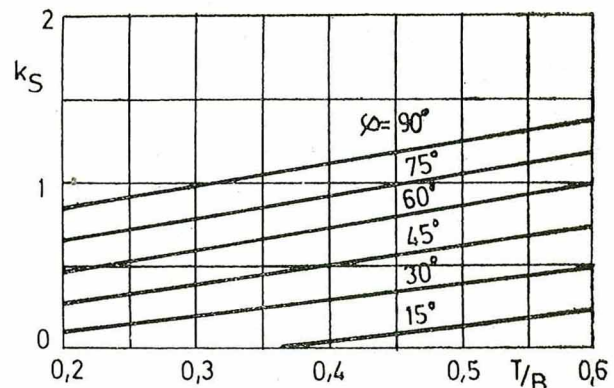
Standart değerler söylenir :

$$\delta = 0,50 \text{ ve } \beta = 0,75$$

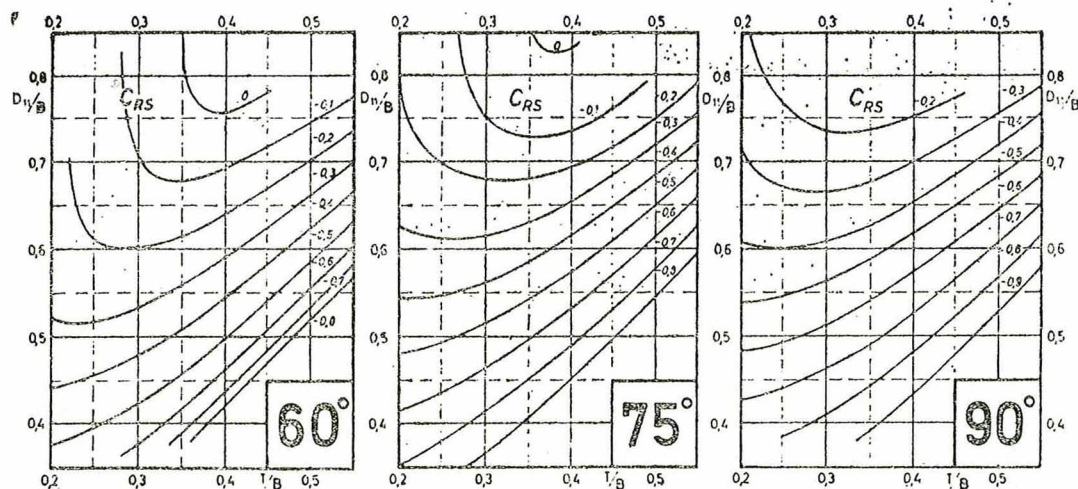
Bu değerler incelenen örneklerin yaklaşık ortalamalarıdır.  $C_{RS}$  ise şöyle bulunmaktadır :



ŞEKİL 3. Güverte evleri için  $k_H$  düzeltme faktörü ŞEKİL 4. Üst yapılar için  $k_S$  düzeltme faktörü



Şek. 5a.



Şek 5b.

Şek 5 (a) ve (b),  $\delta = 0,50$  ve  $\beta = 0,75$  standart şartlarında  $C_{RS}$  katsayısını veren  $C_{RS}$  diyagramları.

$$C_{RS} = C'_{RS} + m \{ (\beta - 0,75) - b(1-\beta)(\delta - 0,50) \}$$

Burada  $C'_{RS}$  şekil 5'den bulunan değer,  $m$  ise şekil 6'dan bulunan,  $\beta$  için düzeltme faktöründür.  $b$  değeri  $\varphi$  ye karşılık verilmektedir. (Şek. 6)

## ÜST YAPI VE GÜVERTE EVLERİ İÇİN DÜZELTME

Bu düzeltme, şiyer düzeltmesinde olduğu gibi  $D$ 'ye eklenmektedir. Derinlik için aşağıdaki tanım kullanılmaktadır:

$$D_{11} = D_1 + \Delta D_H + \Delta D_S$$

$D_{11}$  derinliği,  $C_{RS}$  diyagramlarında kullanılan parametredir.  $D_1$ , yukarıda tanıif edilmiş, şiyer için düzeltilmiş derinlik değeridir.  $\Delta D_H$  ve  $\Delta D_S$  değerleri sırasıyla kılç ve baş kasara için düzeltmelerdir. Bu düzeltmeler şöyle tanımlanmaktadır :

$$\Delta D_H = k_H \cdot \Delta_0 \cdot D_H$$

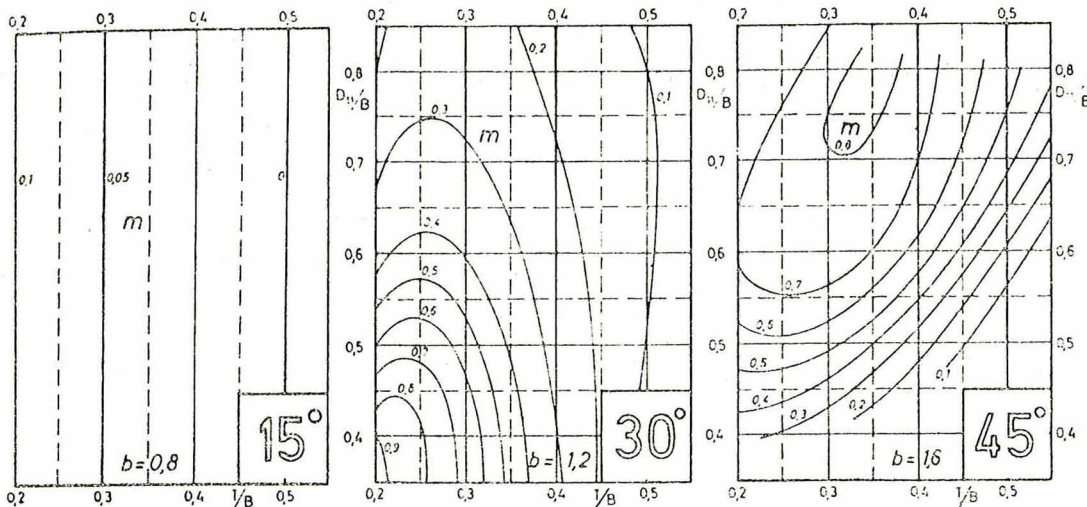
$$\Delta D_S = k_S \cdot \Delta_0 \cdot D_S$$

Burada  $\Delta_0 D_H$  ve  $\Delta_0 D_S$  temel düzeltmeler,  $k_H$  ve  $k_S$  ise Şekil 3 ve 4'den elde edilen ve meyil ile draft'ın fonksiyonu olan faktörlerdir.

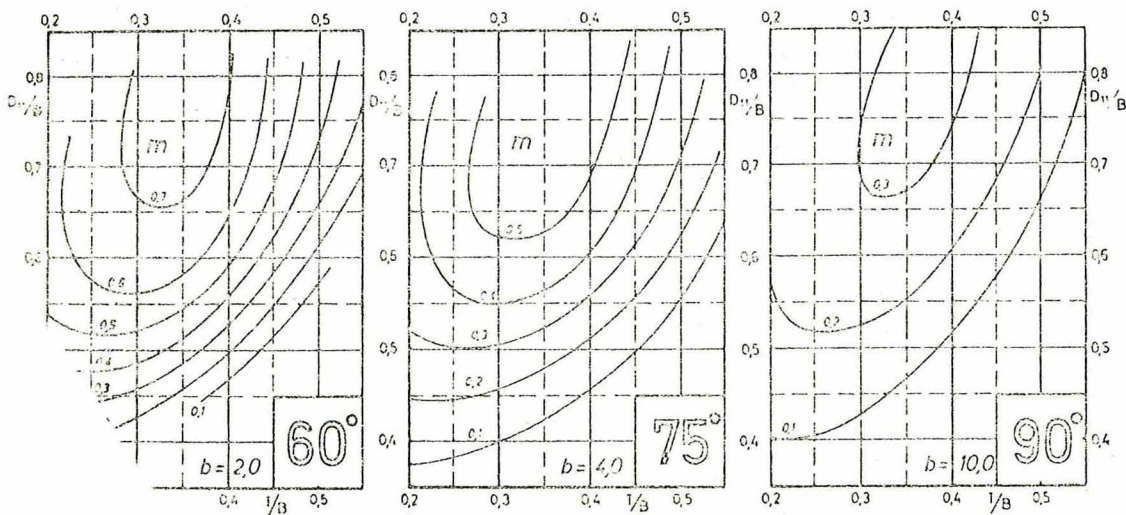
Güverte evleri için temel düzeltme:

$$\Delta_0 D_H = \frac{\Sigma V}{L_{pp} \cdot B \cdot \alpha_D}$$

Bu tanım, güverte evlerinin tüm güverte alanına dağılım şeklärinden gelen derinlik artışına karşılık gelmektedir.  $\alpha_D$  hesap güvertesinin (üst güverte) alan narinlik katsayısıdır. Bu katsayı kullanılsız gözükse de dizayn sırasında üst güverte planı belirmiş olduğundan güverte alanı kolayca bulunabilir.



Şek 6a.



Şek 6b.

(b).  $\delta = 0,50$ ,  $\beta = 0,75$  standart değerleri dışında değerlere sahip gemiler için  $m$  ve  $b$  katsayıları.

#### ŞEKİL. 7. Hesap Formu

1	L <sub>PP</sub> = 22,8 m	9	$\delta_K = 0,387$											
2	B = 6,7 m	10	$\alpha_K = 0,702$											
3	D = 3,35 m	11	$\beta_K = 0,618$											
4	T <sub>K</sub> = 2,14 m	12	$\alpha_0 = 0,847$											
5	S <sub>A</sub> = 0,35 m	13	$\Sigma V = 62,1 \text{ m}^3$											
6	S <sub>F</sub> = 0,81	14	$l_p = - \text{m}$											
7	$D_1 = D \cdot (S_A + S_F)/b =$	15	$h_p = - \text{m}$											
8	$\frac{S_A + S_F}{b} = 3,54 \text{ m}$	16	$l_r = 5,13 \text{ m}$											
9	$D_1/T_K = 1,655$	17	$h_r = 2,16 \text{ m}$											
18	$D_1/B = 1/2 = 0,529$	21	$T_{1,5} = 1/3 = 2,36 \text{ m}$											
19	$(1 \cdot 2)^2 \cdot 13 = 0,078$	22	$\delta_{1,5} = 0,506$											
20	$(14 \cdot 15 \cdot 16 \cdot 17) / (1 \cdot 2) = 0,073$	23	$\beta_{1,5} = 0,680$											
24	$(1 - 23) \cdot (22 - 0,5) = 0,002$	25	$(23 - 0,75) = -0,070$											
26	(27)	(28)	(29)	(30)	(31)	(32)	(33)	(34)	(35)	(36)	(37)	(38)	(39)	
$\psi$ der.	T m	T/B $(27)/(2)$	$k_H$ Diagr. skl.3	$\frac{\Delta D_H}{B}$ $\frac{(28)}{(2)}$	$k_S$ Diagr. skl.4	$\frac{\Delta D_S}{B}$ $\frac{(29)}{(2)}$	$D_{11}/B$ $\frac{(30)}{(2)}$	C <sub>RS</sub> $\frac{(31)}{(2)}$	b Diagr. skl.5	m Diagr. skl.6	C <sub>RS</sub> $\frac{(32)}{(2)}$	Düzelte me	MS $BM(\frac{(33)}{(2)})$ m	
$15^\circ$	2,00	0,298	BM: 2,294	0 0	0,529	-0,005				0,05	-0,01		-0,02	
	3,00	0,448	m 1,550	0,10	0,007	0,536	-0,02			0,05	-0,02		-0,03	
$30^\circ$	2,00	0,298	0 0	0,19	0,014	0,543	-0,03			0,38	-0,06		-0,14	
	3,00	0,448	0,20	0,014	0,34	0,025	0,568	-0,12			0,16	-0,13		-0,20
$45^\circ$	2,00	0,298	0,04	0,003	0,38	0,028	0,560	-0,10		0,70	-0,15		-0,34	
	3,00	0,448	0,53	0,038	0,57	0,042	0,609	-0,20		0,41	-0,23		-0,36	
$60^\circ$	2,00	0,298	0,20	0,014	0,59	0,048	0,586	-0,21		0,64	-0,26		-0,60	
	3,00	0,448	0,79	0,057	0,69	0,050	0,636	-0,28		0,42	-0,31		-0,48	
$75^\circ$	2,00	0,298	0,35	0,025	0,79	0,058	0,612	-0,29		0,52	-0,33		-0,76	
	3,00	0,448	1,09	0,073	0,99	0,072	0,674	-0,33		0,38	-0,36		-0,56	
$90^\circ$	2,00	0,298	0,50	0,036	0,98	0,072	0,637	-0,34		0,28	-0,37		-0,85	
	3,00	0,448	1,19	0,086	1,19	0,086	0,709	-0,37		0,22	-0,39		-0,60	

ŞEKİL. 8. Örnek Hesap

Üst yapılar için temel düzeltme :

$$\Delta_0 D_s = h_p \frac{l_p}{L_{pp}} + h_f \cdot \frac{l_f}{L_{pp}}$$

$h_p$ ,  $l_p$ ,  $h_f$ ,  $l_f$  uzunlukları dikeyler arasında ölçülecektir.

Görüldüğü gibi ortada güverte evleri ve üst yapıları olan gemiler inceleme kapsamında tutulmamıştır. Ayrıca düzeltme faktörleri 1 değerini aşabilir. Bu durum, büyük meyil açılarında yüksek üst yapı ve güverte evlerinin etkisinin, tüm güverteye homojen yayılmış aynı hacimdeki bir yapıya oranla daha büyük olduğunu göstermektedir.

### HESAP YOLU ÜZERİNE NOTLAR

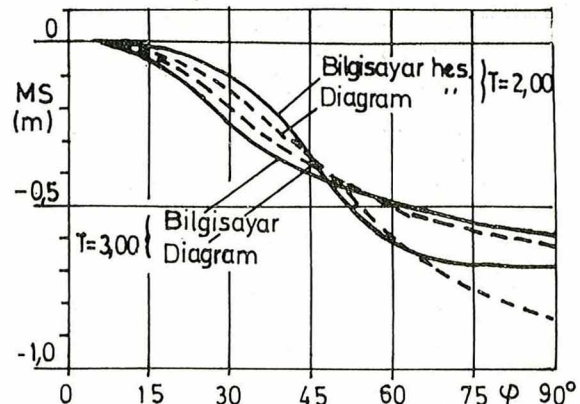
Şekil 7'deki hesap formu hesaplarda kullanılabilir. Bir balıkçı gemisi için örnek hesap şekil 8'de verilmiştir. Bu hesap sonucu ortaya çıkan MS eğrileri, bilgisayarla hesaplanan eğrilerle birlikte Şekil 9'da verilmiştir.

Blok katsayısı ve orta kesit narinlik katsayısı gerçek draft'ta değil dizayn

yüklü draft'ındaki  $[T_k]$  değerlerdir. Bu,  $D_1/T$ 'nin 1,5 standart değerinden farklı olduğu durumlarda hesap hatalarına yol açabilir. Bu durumda yine  $D_1/T = 1,5$  değerine karşılık gelen  $\delta$  ve  $\beta$  kullanılacaktır. Ayrıca eğer  $\delta_{1,5}$  ve  $\beta_{1,5}$  değerleri bilinmiyorsa aşağıdaki yaklaşık bağıntılara başvurulur.

$$\delta_{1,5} \equiv \delta_k \frac{T_k}{T_{1,5}} + \alpha_k \frac{T_{1,5} - T_k}{T_{1,5}} \quad \text{ve}$$

$$\beta_{1,5} \equiv \beta_k \frac{T_k}{T_{1,5}} + \frac{T_{1,5} - T_k}{T_{1,5}}$$



Şekil 9.

## ODADAN HABERLER

### • Odamıza yeni kayıt olan üyeler

Serhat Yorulmaz, F. Kamil Cankurt, Mehmet Okur, A. Ercan Türkoğlu, Ahmet Bayraktar, Kadri Celasun, Macit Gündoğdu

### • Yönetim Kurulu görev bölümü değişti.

10 Eylül 1982 tarihine kadar Oda Başkanlığı görevini sürdürden Ali Dursun

Kançeker'in Türk Loydu genel sekreterliğine getirilmesi nedeni ile Yönetim Kurulu yeniden görev bölüm yaparak Oda Başkanlığı görevini Haşmet Tan'a vermiştir.

Başkan	:	Haşmet Tan
Başkan Yard.	:	Yılmaz Tabanlı
Sekreter Üye	:	Naci Çankaya
Sayman Üye	:	Mehmet Çevik
Üye	:	A. Dursun Kançeker
Üye	:	Yaşar Güven
Üye	:	Ömer Gören

### • Beşinci Beşyilk Kalkınma Planı Özel İhtisas Komisyonu çalışmalarını tamamladı.

Odamız, Beşinci Beşyillik Kalkınma Planı - Gemi İnşaatı Özel İhtisas Komisyonu çalışmalarına aktif olarak katılarak ülke ve gemi yapım sanayi yararına düşüncelerin raporda yer almasına çalıştı.

### • Komisyonlar çalışmalarını sürdürürler.

Fribord Komisyonu : Komisyonumuz daha önce Odamız tarafından verilen, ancak form halinde olmayan Fribord Belgesi konusundaki çalışmalarını tamamlamış, uluslararası belgeler incelenerek oluşturulan formun basılmasına karar verilmiştir. Ayrıca fribord Hesap Belge-

sinin yeniden düzenlenip, kullanışlı hale getirilmesi çalışmaları sürdürürmektedir. Komisyonumuz ayrıca uluslararası alanda geçerli 1966 Fribord Kuralları'nın ve bu sene yürürlüğe giren Gros Tonilato Kuralları'nın İngilizce metinlerinin Odamız üyelerine yararlı olacağı düşüncesiyle bir kitapçık halinde basılması konusunda görüşmektedir. Bu konuda üyelerin talebi dikkate alınacaktır.

Yan Sanayi Komisyonu : Geçmiş yıllarda inşa edilen gemilerin tonaj ve tiplebine göre yapılan ayıklama sonucunda yapım yoğunluğu fazla olan gemiler 1000 - 1500 DWT koster, 2700 - 3100 DWT koster, 4100 DWT koster, 5500 DWT koster ve 18000 DWT dökme yük gemisi olarak tesbit edilmiştir. Gemilerde kullanılan teçhizatların listeleri oluşturulmuş ve gemi tonajlarına göre kapasiteleri tespit edilmiştir. Diğer taraftan yurt içinde üretilen ve üretilmesi olanaklı olan teçhizatlar belirlenmiş, bulunıldığı kadarıyla üretici firmaların adresleri tespit edilmiştir. Gemi yan sanayinin sorunlarını içeren ve alınması gereken önlemleri ortaya koyan bir genel yorumla birlikte çalışmalar özümüzdeki hafta içinde tamamlanacaktır.

### • Prof. Ata NUTKU'nun «Boğaziçi trafiği» üzerine yazısı gazetelerde Yayınlandı.

Üyelerimizden Ord. Prof. Ata Nutku, 14.9.1982 tarihli Cumhuriyet Gazetesiinde çıkan «Yine Boğaz Trafiği» adlı yazısında sağ - sol seyir düzeni üzerindeki tartışmaları ele almakta, sağ seyir kurallının doğaya aykırı olduğunu iddia etmek yerine, «nafile tartışmaları bırakıp İstanbul boğazının ZİKZAK konfigürasyonuna kendimizi uydurmak için gerekli tedbirleri almamız gerektiğini» belirterek, bu tedbirleri özetle şöyle sıralamaktadır :



Burçelik A.S. 1969'dan beri klasik parçaları ile  
Gemi Insa Sanayinin hizmetindedir.

A-Capalar - Ciposuz - Union tipi

12-30-60-100-125-150-200-250-300-400-500-650-760-  
900-1000-1250-1500-1750-2500-2500-3000-3500-4000-5000-6000  
7000-8000-12000-Kg.lik.

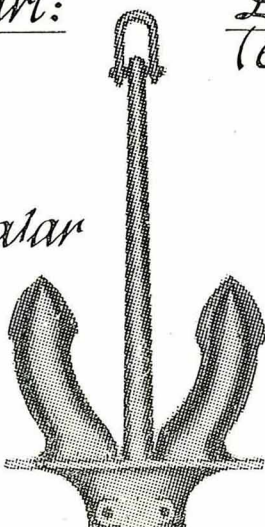
B-Lokmali - Yekpare Zincirler

$\varnothing$  31 den  $\varnothing$  102'ye kadar, yüksek mukavemetli (high strength steel) veya çok yüksek mukavemetli (extra high strength steel) malzemeden.

C-Zincir Aksesuarları:

- Firdöndüler
- Capa kilitleri
- Zincir kilitleri
- Yer halkaları, mapalar
- Örümcekler
- Cabuk çözünlür palamar kancalar.

QRH



D-Diger Parçalar:

(6 ton net ağırlığa kadar)

- Saft bosaları
- Dumen bosaları
- Kort nozulleri
- Iskele babaları
- Valfler
- A-Braketler
- Localar
- Kurt ağızları
- Silindir kapakları.

# **Marmara Transport A.Ş.**

LPG GEMİLERİ

TANKERLER

KURU YÜK GEMİLERİ

KONTEYNER GEMİLERİ

BASINÇLI LPG TANKLARI

YENİ GEMİ İNSAATI

TAMİR İŞLERİ

TADİL BOY UZATMA

**Yapımında Tecrübeli**

## **MARMARA TERSANESİ**

**MEREZ : Galatasaray, Yeniçeri Sok. Vakıf Han No. 20 Kat 3**

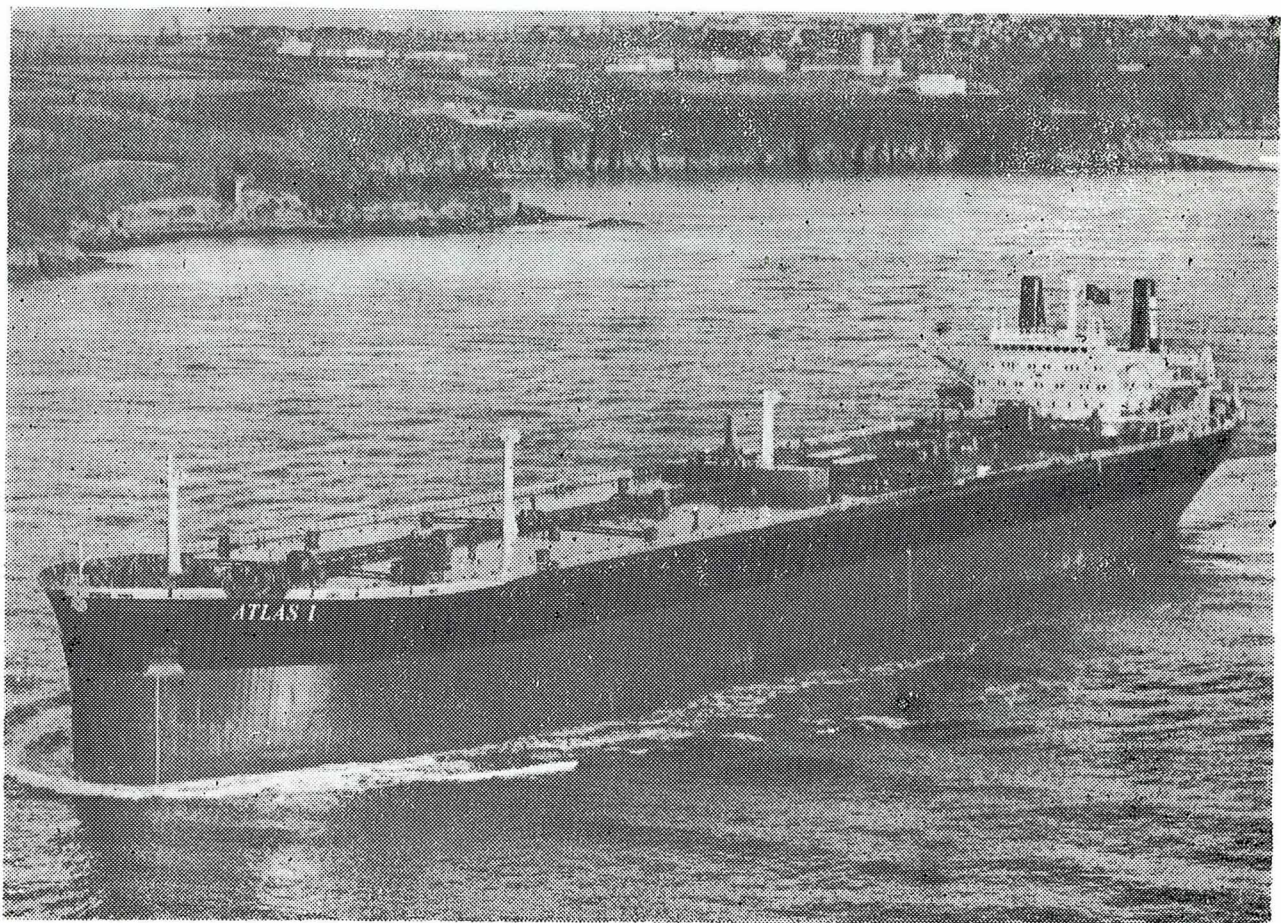
**BEYOĞLU - İST. Tel. : 430374 - Telex : 24314 Marp : Telgraf Marp**

**TERSANE : Çaykoz Mevkii VARIMCA - KOCAELİ**

**Telefon : TÜTÜNÇİFTLİK 2096      Telex : 33100 M TER TR**



# DENİZCİLİK ANONİM ŞİRKETİ



M/T ATLAS I

M/V "AKAD" : 35.775 D.W.T.

M/V "ARPAD" : 37.765 D.W.T.

M/T "ATLAS I" : 142.800 D.W.T.

İç ve Dış sularda akaryakıt ve kuru yük nakliyatı.

**TOPLAM 216.340 DWT'LUK GEMİLERİYLE DENİZCİLİĞİMİZİN  
HİZMETİNDEDİR.**

Deniz Nakliyatına Başlama Tarihi : 1948

**DENİZCİLİK ANONİM ŞİRKETİ** tesis tarihi : Şubat 1952

Adres : Meclisi Mebusan Caddesi 55, Fındıklı Han Kat 4, Fındıklı - İstanbul  
Telefon : 43 63 70 (5 hat) 49 57 51 - 49 74 27  
Teleks : 24189 Haba Tr - 24478 Hyba Tr - 24489 Gen Tr  
Telgraf : Habaran - İstanbul

# DENİZ BOYALARI İNDA RAKİPSİZ



# MORAVIA

ZEHİRLİ DENİZ BOYALARI

Büro: TÜRKOYL Ltd.Şti.

Karamustafapaşa Sok. Liman Bahçe Han Kat : 2

KARAKÖY — İSTANBUL

Telefon : 44 10 32 - 44 67 79

Telgraf : Türkoyl - İstanbul

Telex : 22030 TOYL TR.

Fab : BOYMAN Boya ve Kimya San. A.Ş.

Fevzi Çakmak Caddesi No. 2 SEFAKÖY - İSTANBUL

Telefon : 79 16 98